

Elementarna Geometria Różniczkowa Krzywizna powierzchni

Opracowanie: Marek Kaluba*

2013

Spis treści

5	Powierzchnie w \mathbb{R}^3	27
5.1	Podstawowe definicje	27
5.2	Przykłady powierzchni	32
6	Wektory styczne i normalne. I forma podstawowa	39
6.1	Przestrzeń styczna	39
6.2	Wektor normalny	41
6.3	Powtórka z algebry liniowej I	42
6.4	I forma podstawowa	43
7	Pochodne kierunkowe. Izometria.	47
7.1	Pochodne kierunkowe	47
7.2	Izometria	49
8	Krzywizna Gaussa I	53
8.1	Odwzorowanie Gaussa	53
8.2	Krzywizna Gaussa – Idea	53
8.3	Pole powierzchni	56
8.4	Powtórka z algebry liniowej II	57

*Uniwersytet im. Adama Mickiewicza, kalmar@amu.edu.pl

9	Krzywizna Gaussa II	61
9.1	Odwzorowanie Weingartena	61
9.2	Druga forma podstawowa	62
9.3	Krzywizna Gaussa oraz krzywizna średnia	64
9.4	Agitacja na rzecz zgodności definicji	65
10	Theorema Egregium i Twierdzenie klasyfikacyjne	69
10.1	Symbole Christoffela	69
10.2	Theorema Egregium	73
10.3	Twierdzenie klasyfikujące	75

Powierzchnie w \mathbb{R}^3

Definicja 5.1. Niech $U \subset \mathbb{R}^2$ będzie zbiorem otwartym. Odwzorowanie (funkcję wektorową)

$$x: U \rightarrow \mathbb{R}^3$$

nazywamy **gładkim**, jeśli wszystkie pochodne cząstkowe (dowolnego rzędu) x istnieją oraz są odwzorowaniami ciągłymi.

Definicja 5.2. Niech $U \subset \mathbb{R}^2$ będzie zbiorem otwartym. Odwzorowanie gładkie

$$x: U \rightarrow \mathbb{R}^3$$

nazywamy **lokalnym układem współrzędnych** jeśli jest injekcją, oraz

$$\frac{\partial x}{\partial s}(s, t) \times \frac{\partial x}{\partial t}(s, t) \neq 0$$

dla wszystkich $(s, t) \in U$.

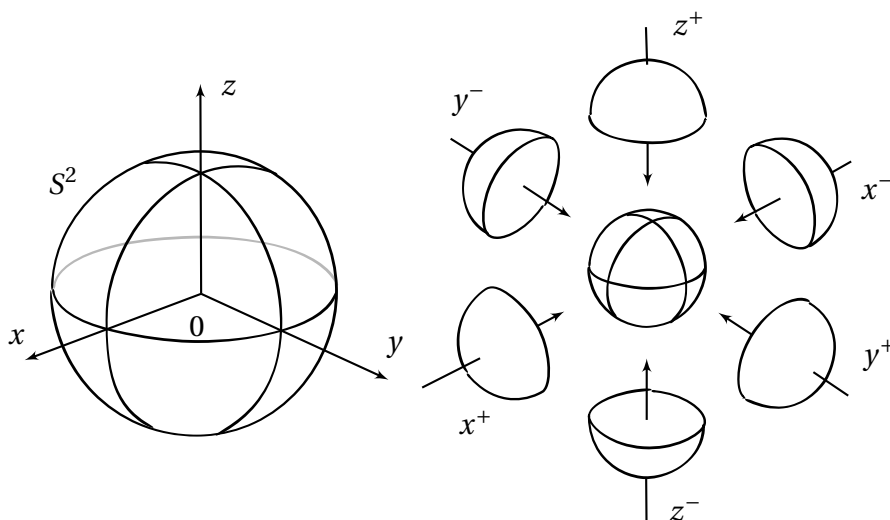
5.1 Podstawowe definicje

Definicja 5.3. • Podzbiór $M \subset \mathbb{R}^3$ nazywamy **powierzchnią gładką**, jeśli wokół każdego punktu p istnieje lokalny układ współrzędnych $x: U \rightarrow V \subset \mathbb{R}^3$.

- Powierzchnię gładką M nazywamy łukowo spójną, jeśli dla dowolnych dwóch punktów $x, y \in M$ istnieje krzywa $\alpha: [0, 1] \rightarrow M$ taka, że $\alpha(0) = x$ i $\alpha(1) = y$.

Potocznie mówimy, że przestrzeń jest powierzchnią gładką jeśli „lokalnie” (tj. w małym otoczeniu każdego punktu) wygląda jak fragment płaszczyzny (patrz część 1 Lematu 5.5).

Przykład. Jednostkowa sfera, tj. powierzchnia o równaniu $x^2 + y^2 + z^2 = 1$ jest przykładem powierzchni regularnej. Lokalnym układem współrzędnych jest np. $x^\pm(u, v) = (\pm\sqrt{1 - u^2 - v^2}, u, v)$ jak na następującym rysunku

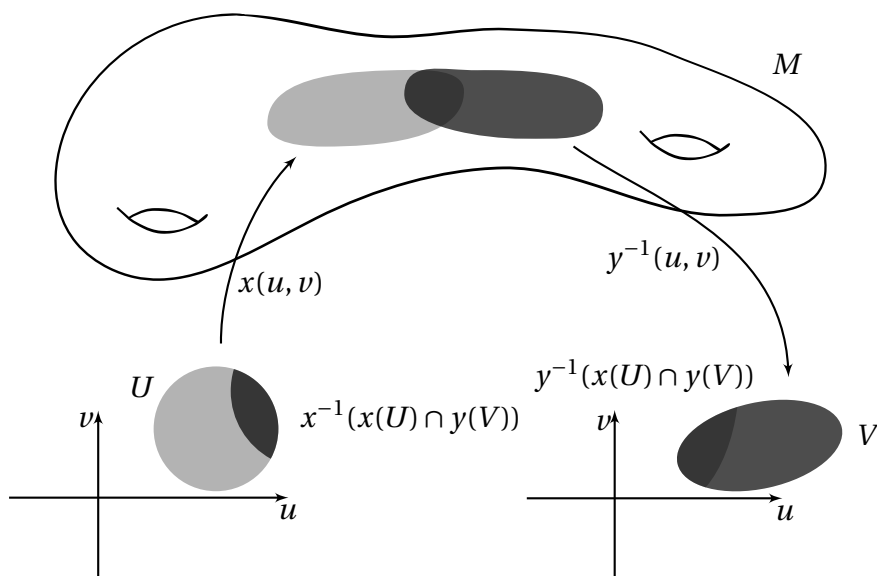


Uwaga. UWAGA! Zakładamy, że wszystkie powierzchnie które będzie my rozważać dalej są gładkie i łukowo spójne.

Definicja 5.4. Niech $M \subset \mathbb{R}^3$ będzie powierzchnią gładką, oraz niech $x: U \rightarrow M$ i $y: V \rightarrow M$ będą lokalnymi układami współrzędnych wokół punktu $p \in M$. Wtedy złożenie

$$\Phi_{x,y} \stackrel{\text{def.}}{=} y^{-1} \circ x: x^{-1}(x(U) \cap y(V)) \rightarrow y^{-1}(x(U) \cap y(V))$$

nazywamy **funkcją zmiany układu współrzędnych**.



Lemat 5.5. Niech $M \subset \mathbb{R}^3$ będzie powierzchnią gładką. Wówczas:

1. Jeśli $x: U \rightarrow M$ jest lokalnym układem współrzędnych wtedy x jest dyfeomorfizmem U na obraz $x(U)$.
2. Niech $V \subset \mathbb{R}^2$ będzie zbiorem otwartym i niech $f: V \rightarrow U$ będzie dyfeomorfizmem. Wtedy

$$y \stackrel{\text{def}}{=} x \circ f: V \rightarrow M$$

jest lokalnym układem współrzędnych i f jest funkcją zmiany układu współrzędnych $\Phi_{y,x}$.

Dowód:

- 1) Ponieważ x jest injekcją, więc jest bijekcją na swój obraz. Ponieważ x jest odwzorowaniem gładkim, oraz na zbiorze U rząd jego pochodnej jest równy 2 (z definicji lokalnego układu współrzędnych), więc korzystając z twierdzenia o odwzorowaniu uwikłanym na zbiorze $x(U)$ istnieje do x gładkie odwzorowanie odwrotne, zatem x jest dyfeomorfizmem.
- 2) Ponieważ złożenie dwóch dyfeomorfizmów jest dyfeomorfizmem, wystarczy sprawdzić, że jest spełniona własność lokalnego układu współrzędnych dla $y = x \circ f$.

Mamy

$$\begin{aligned} \frac{\partial(x \circ f)}{\partial s} \times \frac{\partial(x \circ f)}{\partial t} &= \\ &= \left(\frac{\partial x}{\partial f_1} \frac{\partial f_1}{\partial s} + \frac{\partial x}{\partial f_2} \frac{\partial f_2}{\partial s} \right) \times \left(\frac{\partial x}{\partial f_1} \frac{\partial f_1}{\partial t} + \frac{\partial x}{\partial f_2} \frac{\partial f_2}{\partial t} \right) = \\ &= \frac{\partial f_1}{\partial s} \frac{\partial f_2}{\partial t} \left(\frac{\partial x}{\partial f_1} \times \frac{\partial x}{\partial f_2} \right) + \frac{\partial f_1}{\partial t} \frac{\partial f_2}{\partial s} \left(\frac{\partial x}{\partial f_2} \times \frac{\partial x}{\partial f_1} \right) = \\ &= \left(\frac{\partial x}{\partial f_1} \times \frac{\partial x}{\partial f_2} \right) \left(\frac{\partial f_1}{\partial s} \frac{\partial f_2}{\partial t} - \frac{\partial f_1}{\partial t} \frac{\partial f_2}{\partial s} \right) \end{aligned}$$

Ponieważ x jest lokalnym układem współrzędnych, więc z definicji pierwszy czynnik jest niezerowy. Ponieważ f jest dyfeomorfizmem, więc drugi czynnik (wyznacznik macierzy Jacobiego dla f) jest różny od zera.

Ostatnia teza ($\Phi_{x,y} = f$) wynika z definicji funkcji przejścia pomiędzy układami współrzędnych.

□

Gładkość funkcji na powierzchni

Definicja 5.6. Niech $M \subset \mathbb{R}^3$ będzie powierzchnią gładką i niech $f: M \rightarrow \mathbb{R}$ będzie funkcją. Funkcję f nazywamy gładką jeśli dla każdego punktu $p \in M$ i dla każdego lokalnego układu współrzędnych $x: U \rightarrow M$ takiego, że $p \in x(U)$ funkcja

$$f \circ x: U \xrightarrow{x} M \xrightarrow{f} \mathbb{R}$$

jest gładka jako funkcja z \mathbb{R}^2 do \mathbb{R} .

W praktyce są dwie metody na definiowanie funkcji określonej na powierzchni.

- Jeśli $F: \mathbb{R}^3 \rightarrow \mathbb{R}$ jest gładka, wtedy jej obcięcie $F|_M: M \rightarrow \mathbb{R}$ będzie również gładkie.
- Załóżmy że $x: U \rightarrow M \subset \mathbb{R}^3$ jest lokalnym układem współrzędnych. Jeśli $f: U \rightarrow \mathbb{R}$ jest funkcją gładką, to funkcję na powierzchni M możemy określić jako

$$F = f \circ x^{-1}: x^{-1}(U) \rightarrow U \rightarrow \mathbb{R},$$

gdzie $x^{-1}(U) \subset M$. Jest to funkcja gładka jako złożenie dwóch funkcji gładkich.

Przykład. • Funkcja $f: S^2 \rightarrow \mathbb{R}$ zadana wzorem

$$f(x, y, z) = \frac{xyz}{x^2 + y^2 + z^2}$$

jest funkcją gładką.

- Niech M będzie zadana jako powierzchnia paraboloidy,

$$x(s, t) = (s, t, s^2 + t^2).$$

Rozważmy funkcję $f: \mathbb{R}^2 \rightarrow \mathbb{R}$ zadaną wzorem

$$(s, t) \mapsto \sin(s + t).$$

Wtedy $f \circ x^{-1}(a, b, c) = \sin(a + b)$ i stąd $f \circ x^{-1}: M \rightarrow \mathbb{R}$ jest funkcją gładką na powierzchni paraboloidy.

Uwaga. Definicja 5.6 naturalnie uogólnia się na odwzorowania gładkie $M \rightarrow \mathbb{R}^n$.

Gładkość odwzorowania między powierzchniami

Definicja 5.7. Niech $M, N \subset \mathbb{R}^3$ będą powierzchniami gładkimi i niech $f: M \rightarrow N$ będzie odwzorowaniem. Mówimy, że f jest **odwzorowaniem gładkim** jeśli jest gładkie jako odwzorowanie $M \rightarrow N \hookrightarrow \mathbb{R}^3$. Mówimy, że f jest **dyfeomorfizmem powierzchni** jeśli f jest gładką bijekcją, której odwzorowanie odwrotne jest również gładkie.

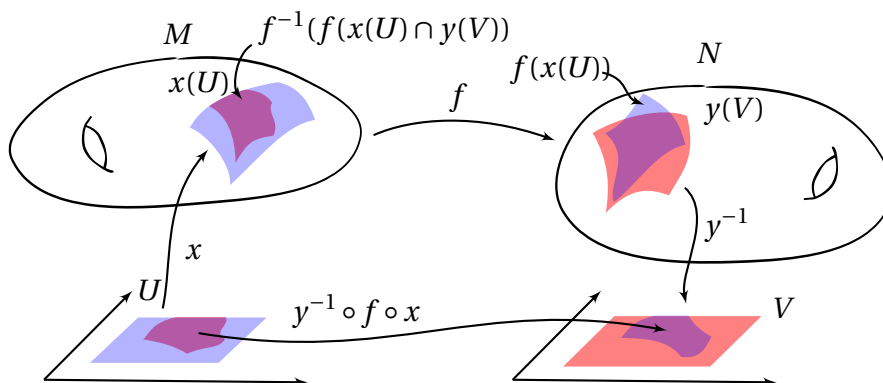
Lemat 5.8. Niech $M, N \subset \mathbb{R}^3$ będą powierzchniami gładkimi i niech

$$f: M \rightarrow N$$

będzie odwzorowaniem ciągłym. f jest odwzorowaniem gładkim (a więc gładkim jako odwzorowanie $f: M \rightarrow \mathbb{R}^3$) wtedy i tylko wtedy gdy dla każdego punktu $p \in M$ istnieje wokół niego lokalny układ współrzędnych $x: U \rightarrow M$ oraz istnieje lokalny układ współrzędnych $y: V \rightarrow N$ wokół $f(p) \in N$ takie, że złożenie

$$y^{-1} \circ f \circ x: U \rightarrow V$$

jest gładkie jako odwzorowanie $\mathbb{R}^2 \rightarrow \mathbb{R}^2$ (tam, gdzie to złożenie ma sens).



Dowód:

Aby złożenie $y^{-1} \circ f \circ x$ będzie miało sens musimy założyć, że ograniczymy się do zbioru otwartego $f(x(U)) \cap y(V) \neq \emptyset$. Dla wygody oznaczmy $A \stackrel{\text{def.}}{=} x^{-1}(y^{-1}(y(V)))$. Załóżmy, że odwzorowanie $f: M \rightarrow N \subset \mathbb{R}^3$ jest gładkie. Ponieważ x i y są dyfeomorfizmami na swój obraz, więc i ich funkcje odwrotne są gładkie. Zatem złożenie $y^{-1} \circ f \circ x$ jest również gładkie.

Założmy, że $y^{-1} \circ f \circ x$ jest odwzorowaniem gładkim z $\mathbb{R}^2 \supset U \rightarrow V \subset \mathbb{R}^2$. Możemy je złożyć wcześniej z $x^{-1}: x(U) \rightarrow U$, oraz później z $y: V \rightarrow y(V)$ otrzymując:

$$M \supset x(U) \xrightarrow[\text{id}_{x(U)}]{x^{-1}} U \xrightarrow{x} x(U) \xrightarrow{f} y(V) \xrightarrow[\text{id}_{y(V)}]{y^{-1}} V \xrightarrow{y} y(V) \subset N.$$

□

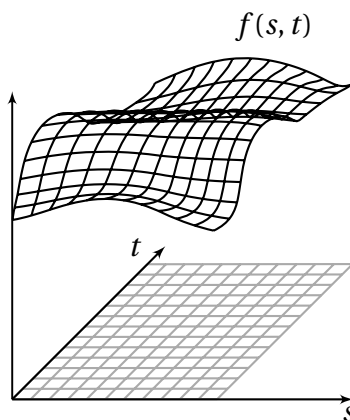
Uwaga. Przypomnijmy, że powierzchnię zdefiniowaliśmy jako zbiór **zanurzony** w \mathbb{R}^3 który lokalnie przypomina \mathbb{R}^2 . Powyższy lemat pozwala nam definiować powierzchnie (i ogólniej: rozmaitości n -wymiarowe), oraz funkcje na nich określone nie uciekając się do zanurzenia w odpowiednio wysoko wymiarowej przestrzeni Euklidesowej. Nie jest wtedy oczywiste, że każdą rozmaitość da się dla pewnego n w przestrzeń \mathbb{R}^n zanurzyć. Udowodnione jest jednak twierdzenie Whitneya o zanurzaniu mówiące, że każdą rozmaitość n -wymiarową można zanurzyć w przestrzeń euklidesową odpowiednio dużego wymiaru (wystarczy \mathbb{R}^{2n+1}).

5.2 Przykłady powierzchni

Parametryzacja Monge'a

Definicja 5.9. Niech $f: U \rightarrow \mathbb{R}$ będzie funkcją określoną na zbiorze otwartym $U \subset \mathbb{R}^2$. Powierzchnię $M \subset \mathbb{R}^3$ nazywamy **powierzchnią Monge'a** jeśli jej parametryzacja jest wykresem funkcji f :

$$x(s, t) = (s, t, f(s, t)).$$

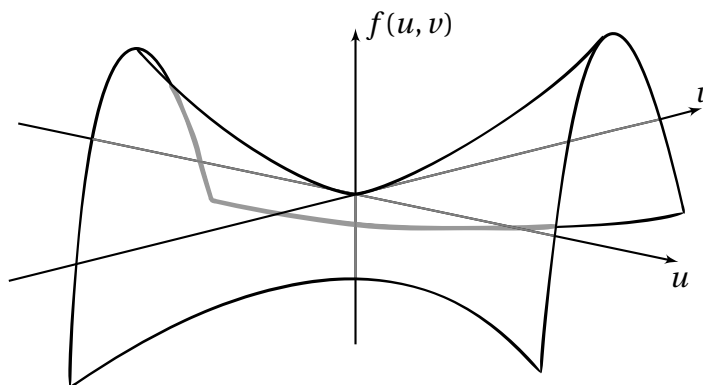


Uwaga. Parametryzacja Monge'a spełnia naszą definicję powierzchni (Definicja 5.3), ponieważ

$$\begin{aligned} \frac{\partial x}{\partial s}(s, t) \times \frac{\partial x}{\partial t}(s, t) &= \det \begin{bmatrix} i & j & k \\ 1 & 0 & \frac{\partial f}{\partial s}(s, t) \\ 0 & 1 & \frac{\partial f}{\partial t}(s, t) \end{bmatrix} = \\ &= \left(-\frac{\partial f}{\partial s}(s, t), -\frac{\partial f}{\partial t}(s, t), 1 \right) \neq 0. \end{aligned}$$

Przykład. • Paraboloidea ($x(u, v) = (u, v, u^2 + v^2)$)

• Powierzchnia siodłowa ($x(u, v) = (u, v, uv)$)

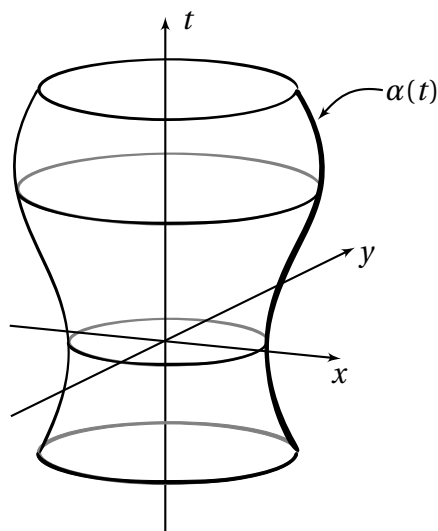


Powierzchnie obrotowe

Definicja 5.10. Powierzchnia obrotowa powstaje poprzez obrócenie krzywej $\alpha(t)$ wokół pewnej ustalonej prostej l . Postać ogólna to

$$x(t, \phi) = \alpha(t) \cdot Rot_l(\phi),$$

gdzie $Rot_l(\phi)$ to macierz 3×3 obrotu o kąt ϕ wokół prostej l .



Najczęściej używane macierze obrotu to obroty wokół osi współrzędnych x, y, z :

$$Rot_x(\phi) = \begin{bmatrix} 1 & 0 & 0 \\ 0 & \cos \phi & \sin \phi \\ 0 & -\sin \phi & \cos \phi \end{bmatrix}$$

$$Rot_y(\phi) = \begin{bmatrix} \cos \phi & 0 & \sin \phi \\ 0 & 1 & 0 \\ -\sin \phi & 0 & \cos \phi \end{bmatrix}$$

$$Rot_z(\phi) = \begin{bmatrix} \cos \phi & \sin \phi & 0 \\ -\sin \phi & \cos \phi & 0 \\ 0 & 0 & 1 \end{bmatrix}$$

W przypadku obrotu $\alpha(t) = (\alpha_1(t), \alpha_2(t), \alpha_3(t))$ wokół osi Ox otrzymamy

$$x(t, \phi) = (\alpha_1(t), \alpha_2(t) \cos \phi - \alpha_3(t) \sin \phi, \alpha_2(t) \sin \phi + \alpha_3(t) \cos \phi)$$

Uwaga. Aby powierzchnia w ten sposób uzyskana była gładka musimy dodatkowo wymagać, aby

- krzywa była bez samoprzecięć, oraz
- oś obrotu nie przecinała naszej krzywej w żadnym punkcie.

Zadanie. Opisać co się "psuje" w definicji kiedy zachodzi jedna bądź druga okoliczność.

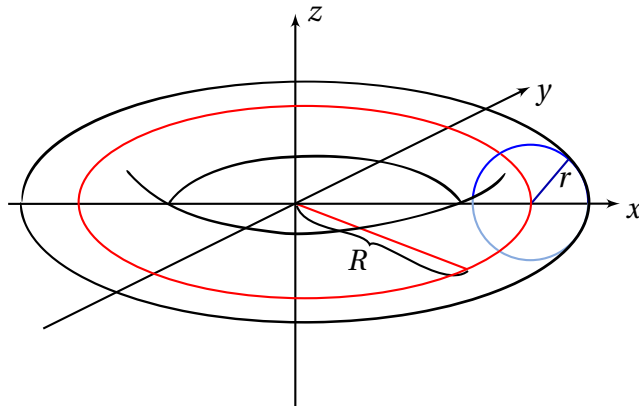
Przykład. • Sfera – obrót okręgu $\alpha(t) = (0, \cos t, \sin t)$ wokół osi z :

$$(0, \cos t, \sin t) \cdot \begin{bmatrix} \cos \phi & \sin \phi & 0 \\ -\sin \phi & \cos \phi & 0 \\ 0 & 0 & 1 \end{bmatrix} = (-\cos t \sin \phi, \cos t \cos \phi, \sin t).$$

- Hiperboloida jednopowłokowa (katenoida)

Przykład. • Torus – obrót okręgu $\alpha(t) = (R + r \cos t, 0, r \sin t)$ wokół osi z :

$$x(t, \phi) = ((R + r \cos t) \cos \phi, (R + r \cos t) \sin \phi, r \sin t).$$

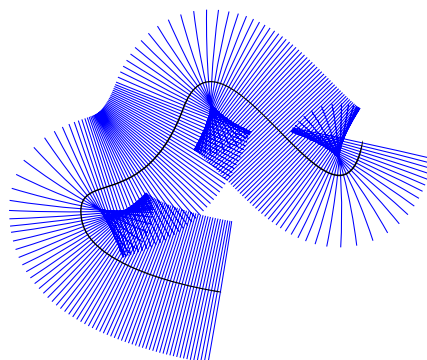


Powierzchnie prostokreślne

Definicja 5.11. Powierzchnią prostokreślną nazywamy powierzchnię o parametryzacji

$$x(s, t) = \alpha(s) + t\beta(s),$$

gdzie α i β są krzywymi w przestrzeni \mathbb{R}^3 . α nazywa się potocznie kierownicą, β - ruletą.



Uwaga. Zauważmy, że dla ustalonego s_0 (czyli linia parametru dla zmiennej t) parametryzacja powyżej redukuje się do równania parametrycznego prostej. Powierzchnia prostokreślna to więc powierzchnia która “składa się” z prostych.

- Walec, Stożek
- Powierzchnia śrubowa
- Powierzchnia siodłowa
- Katenoida.

Poziomice funkcji

Definicja 5.12. Niech $V \subset \mathbb{R}^3$ będzie zbiorem otwartym, oraz niech

$$F: V \rightarrow \mathbb{R}$$

będzie gładką funkcją. Punkt $p \in V$ nazywamy **punktem krytycznym** funkcji F jeśli

$$\text{rank } DF(p) = 0.$$

Uwaga: W naszym przypadku oznacza to, że wszystkie pochodne cząstkowe są równe 0.

Uwaga 2: W przypadku wyżej-wymiarowym, dla odwzorowania $f: \mathbb{R}^m \rightarrow \mathbb{R}^n$ warunek $\text{rank } DF(p) = 0$ powinien być zastąpiony przez:

$$\text{rank } DF(p) \text{ jest mniejszy od maksymalnego, tj. } DF(p) < \max(m, n).$$

- Liczbę $a \in \mathbb{R}$ nazywamy **wartością krytyczną** odwzorowania F jeśli wewnątrz zbioru $F^{-1}(a)$ leży przynajmniej jeden punkt krytyczny.

Definicja 5.13.

Punkt $p \in V$ nazywamy **punktem regularnym** odwzorowania F jeśli

$$\text{rank } DF(p) = 1.$$

Liczbę $a \in \mathbb{R}$ nazywamy **wartością regularną** odwzorowania F jeśli zbiór $F^{-1}(a)$ składa się tylko z punktów regularnych.

Uwaga: W naszym przypadku oznacza to, że przynajmniej jedna z pochodnych cząstkowych odwzorowania F jest różna od 0 w tym punkcie.

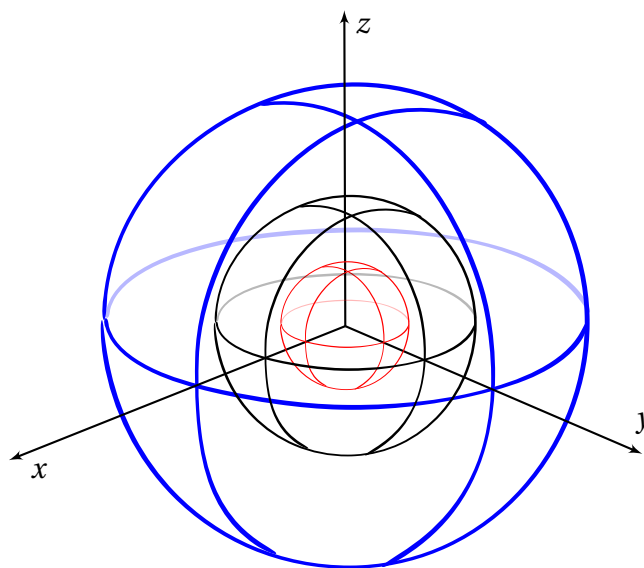
Uwaga 2: Warunek $\text{rank } DF(p) = 1$ w definicji punktu regularnego tak naprawdę oznacza: rząd tak duży jak tylko jest to możliwe. Jeśli funkcja F będzie miała wartości w \mathbb{R}^n definicję trzeba będzie odpowiednio zmodyfikować.

- Liczbę $a \in \mathbb{R}$ nazywamy **wartością regularną** odwzorowania F jeśli zbiór $F^{-1}(a)$ składa się tylko z punktów regularnych.

Twierdzenie 5.14. *Niech $V \subset \mathbb{R}^3$ będzie zbiorem otwartym, zaś $F: V \rightarrow \mathbb{R}$ funkcją gładką. Jeśli $a \in F(V) \subset \mathbb{R}$ jest wartością regularną, wtedy $F^{-1}(a)$ jest powierzchnią gładką (o ile jest to zbiór niepusty).*

Dowód: Dowód jest dosyć techniczny i wynika z twierdzenia o funkcji uwikłanej. Pomijamy. □

Przykład. • elipsoida (w szczególności sfera o promieniu R jako przeciwobraz $f^{-1}(R)$, gdzie $f(x, y, z) = x^2 + y^2 + z^2$).



- paraboloida ($F(x, y, z) = x^2 + y^2 - z$)
- hiperboloida (jedno i dwu-powłokowa: $f(x) = \frac{x^2}{a^2} + \frac{y^2}{b^2} - \frac{z^2}{c^2}$).

Wektory styczne i normalne. I forma podstawowa

6.1 Przestrzeń styczna

Uwaga. Na każdej powierzchni mamy naturalnie dane dwie rodziny krzywych. Dla każdego ustalonego $s_0 \in \mathbb{R}$ możemy rozpatrywać krzywą

$$x(s_0, \cdot): \mathbb{R} \rightarrow \mathbb{R}^3.$$

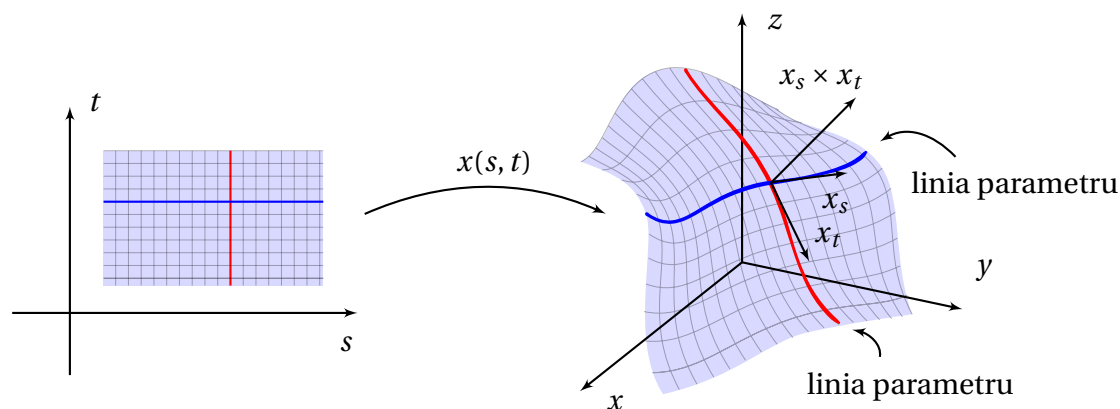
Podobnie dla dowolnego t_0 mamy krzywą

$$x(\cdot, t_0): \mathbb{R} \rightarrow \mathbb{R}^3.$$

Krzywe te leżą na naszej powierzchni, a wektory styczne do tych krzywych będą grały bardzo ważną rolę w dalszych rozważaniach.

Definicja 6.1. Powyższe krzywe nazywamy **liniami parametru**. Jeśli oznaczymy punkt $p = x(s_0, t_0)$ wtedy wektory do nich styczne w punkcie p oznaczamy przez

$$x_s(p) \stackrel{\text{def.}}{=} \frac{\partial x}{\partial s}(s, t_0) \Big|_{s=s_0}, \quad x_t(p) \stackrel{\text{def.}}{=} \frac{\partial x}{\partial t}(s_0, t) \Big|_{t=t_0}.$$



Niech $p \in M$ będzie punktem na powierzchni M . Możemy rozważyć wszystkie krzywe gładkie przechodzące przez ten punkt i leżące (lokalnie) na powierzchni. Intuicja podpowiada nam, że ponieważ wektory styczne dobrze przybliżają (lokalnie) krzywe, więc zbiór wszystkich wektorów tego typu powinien dobrze przybliżać powierzchnię wokół punktu p . Te intuicje możemy sformalizować w następującej definicji.

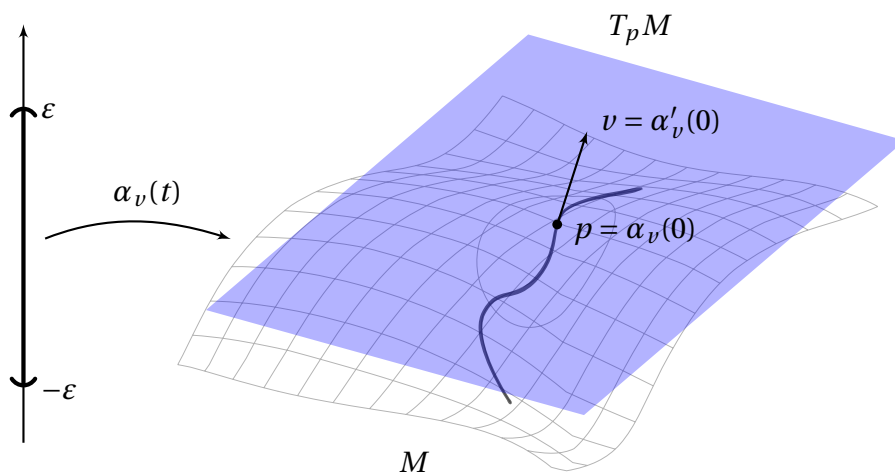
Definicja 6.2. Niech $\alpha_v: (-\varepsilon, \varepsilon) \rightarrow M \subset \mathbb{R}^3$ będzie krzywą gładką. Załóżmy, że $\alpha_v(0) = p$, oraz $\alpha'_v(0) = v$. Ustalmy punkt $p \in M$ i rozważmy wszystkie tego typu krzywe α_v . Wektory do nich styczne w punkcie p utworzą przestrzeń którą nazywamy **przestrzenią styczną** i oznaczamy $T_p M$.

Uwaga. Przestrzeń styczna jest faktycznie przestrzenią liniową, tj.

- Jeśli $v \in T_p M$, wtedy również $av \in T_p M$ dla dowolnego $a \in \mathbb{R}$. Wynika to z reparametryzacji

$$\alpha_{av}(t) = \alpha_v(at).$$

- Addytywność (jeśli $v, w \in T_p M$, wówczas $av + bw \in T_p M$) wynika z dowodu następnego lematu.



Lemat 6.3. Niech $U \subset \mathbb{R}^2$ będzie zbiorem otwartym i niech $x: U \rightarrow \mathbb{R}^3$ będzie lokalnym układem współrzędnych.

1. Przestrzeń styczna jest rozpięta przez wektory $\{x_s(p), x_t(p)\}$, styczne do linii parametru przecinających się w punkcie p .

2. Niech $p \in x(U)$, $p = x(s_0, t_0)$ będzie punktem na powierzchni. Wymiar przestrzeni stycznej w punkcie p wynosi

$$\dim T_p M = 2.$$

Dowód: Wystarczy udowodnić pierwszą część lematu.

Niech $\langle x_s(p), x_t(p) \rangle_{\mathbb{R}}$ oznacza podprzestrzeń liniową w \mathbb{R}^3 rozpiętą przez wektory x_s i x_t . Pokażemy, że każdy wektor z przestrzeni stycznej $T_p M$ można przedstawić jako kombinację liniową wektorów stycznych do linii parametru. Niech $v \in T_p M$. Z definicji przestrzeni stycznej istnieje krzywa $\alpha_v: (-\varepsilon, \varepsilon) \rightarrow M \subset \mathbb{R}^3$ taka, że $\alpha_v(0) = p$, $\alpha'_v(0) = v \in T_p M$. Rozważmy złożenie

$$\beta \stackrel{\text{def.}}{=} x^{-1} \circ \alpha_v: (-\varepsilon, \varepsilon) \rightarrow U \subset \mathbb{R}^2$$

i niech $\beta_1, \beta_2: (-\varepsilon, \varepsilon) \rightarrow \mathbb{R}$ będą funkcjami współrzędnych β . Wtedy równość funkcji

$$\alpha_v(t) = \underbrace{x \circ x^{-1}}_{\text{id}_{x(U)}} \circ \alpha_v(t) = x(\beta_1(t), \beta_2(t)),$$

pociąga równość pochodnych:

$$\begin{aligned} v = \alpha'_v(t) \Big|_{t=0} &= x(\beta_1(t), \beta_2(t))' \Big|_{t=0} = \\ &= \frac{\partial x}{\partial \beta_1}(s_0, t_0) \beta'_1(t) \Big|_{t=0} + \frac{\partial x}{\partial \beta_2}(s_0, t_0) \beta'_2(t) \Big|_{t=0} = \\ &= \beta'_1(0) x_s(s_0) + \beta'_2(0) x_t(t_0), \end{aligned}$$

co daje szukany rozkład v w bazie $\{x_s, x_t\}$.

Teraz przypuśćmy, że $v = ax_s + bx_t$ dla pewnych $a, b \in \mathbb{R}$. Bez straty ogólności możemy założyć, że lokalny układ współrzędnych został w taki sposób wybrany, że $x(0, 0) = p$ (dlaczego?). Zdefiniujmy krzywą $\alpha: (-\varepsilon, \varepsilon) \rightarrow x(U)$ przez $\alpha(t) = x(at, bt)$. Proste przeliczenie pokazuje, że $\alpha(0) = p$ i $\alpha'(0) = ax_s + bx_t = v$, czyli v należy do $T_p M$. \square

6.2 Wektor normalny

Uwaga. Zauważmy, że przestrzeń styczna nie ma ustalonej w kanoniczny sposób bazy. Wektory x_s i x_t ją rozpinające zależą od wybranego lokalnego układu współrzędnych. Natomiast niezależna od tego wyboru jest cała przestrzeń

styczna, a więc i jej ortogonalne dopełnienie, które nazywać będziemy kierunkiem normalnym.

Definicja 6.4. Niech $M \subset \mathbb{R}^3$ będzie gładką powierzchnią, oraz niech

$$\begin{aligned} x: U &\longrightarrow M \\ (s_0, t_0) &\longmapsto p \in M \end{aligned}$$

będzie lokalnym układem współrzędnych. **Wektor normalny w p** definiujemy jako

$$N(p) \stackrel{\text{def.}}{=} \frac{x_s \times x_t}{\|x_s \times x_t\|}(s_0, t_0),$$

gdzie x_s i x_t wektorami stycznymi do linii parametru przechodzących przez punkt p .

Uwaga. Ponieważ wektor normalny ma długość 1, więc koniec każdego wektora normalnego $N(p)$ leży na powierzchni sfery dwuwymiarowej $N(M) \subset S^2$. Zatem N może być traktowany jako **odwzorowanie między powierzchniami**

$$N: M \rightarrow S^2 \subset \mathbb{R}^3$$

punktów na powierzchni M . Jest to tzw. **odwzorowanie Gaussa** do którego wrócimy później.

6.3 Powtórka z algebry liniowej I

Powtórka z algebry liniowej I

Definicja 6.5. Niech V będzie przestrzenią liniową nad ciałem \mathbb{R} . **Forma dwuliniowa** na V to odwzorowanie

$$F: V \times V \rightarrow \mathbb{R},$$

które jest liniowe na każdej ze zmiennych, tj. spełnione są następujące równości

- $F(av + bw, z) = aB(v, z) + bB(w, z)$
- $F(v, aw + bz) = aB(v, w) + bB(v, z)$

dla wszystkich wektorów $v, w, z \in V$ oraz wszystkich liczb rzeczywistych $a, b \in \mathbb{R}$.

Definicja 6.6. Formę dwuliniową B nazywamy **symetryczną** jeśli

$$B(v, w) = B(w, v)$$

dla wszystkich $v, w \in V$.

Definicja 6.7. Niech $\{v_1, \dots, v_n\}$ będzie bazą przestrzeni V , oraz niech B będzie formą dwuliniową na V . **Macierz formy** B w tej bazie definiujemy jako

$$A \stackrel{\text{def.}}{=} \begin{bmatrix} B(v_1, v_1) & \cdots & B(v_1, v_n) \\ \vdots & \ddots & \vdots \\ B(v_n, v_1) & \cdots & B(v_n, v_n) \end{bmatrix}$$

Przy takiej definicji mamy $B(x, y) = xAy^T$ gdzie y^T oznacza transpozycję.

Przykład. Standardowy iloczyn skalarny $\langle x, y \rangle = \sum x_i^2$ jest oczywiście formą dwuliniową. W standardowej bazie przestrzeni \mathbb{R}^n jego macierzą jest $A = \text{Id}$.

6.4 I forma podstawowa

I forma podstawowa

Definicja 6.8. Niech $M \subset \mathbb{R}^3$ będzie gładką powierzchnią i niech $p \in M$ będzie punktem na niej. Dla powierzchni M definiujemy **pierwszą formę podstawową w punkcie** p jako formę dwuliniową

$$I_p: T_p M \times T_p M \longrightarrow \mathbb{R} \\ (v, w) \longmapsto \langle v, w \rangle,$$

gdzie $\langle \cdot, \cdot \rangle$ jest standardowym iloczynem skalarnym w \mathbb{R}^3 . Oznaczamy ją symbolem I_p .

Definicja 6.9. **Pierwsza forma podstawowa** powierzchni M to zależna w sposób ciągły od punktu p rodzina wszystkich form dwuliniowych

$$\mathcal{I}_M \stackrel{\text{def.}}{=} \{I_p\}_{p \in M}.$$

Uwaga. Postać macierzowa pierwszej formy podstawowej zależy w istotny sposób od zanurzenia powierzchni w \mathbb{R}^3 (czyli od wyboru lokalnego układu współrzędnych $x: U \rightarrow M$).

Od teraz wektory styczne do linii parametru będziemy nazywać x_1 i x_2 zamiast x_s i x_t . Niech $x(s_0, t_0) = p$.

Uwaga. W każdym punkcie powierzchni macierz formy podstawowej to macierz wymiaru 2×2 . Przy tak przyjętych oznaczeniach niech

$$g_{ij}(s_0, t_0) \stackrel{\text{def.}}{=} \langle x_i(s_0), x_j(t_0) \rangle, \quad i, j = 1, 2.$$

Wtedy macierz formy podstawowej w bazie $\{x_1, x_2\}$, w punkcie p ma postać

$$I_p = \begin{bmatrix} g_{11}(s_0, t_0) & g_{12}(s_0, t_0) \\ g_{21}(s_0, t_0) & g_{22}(s_0, t_0) \end{bmatrix}$$

W przyszłości będziemy utożsamiać formę z jej macierzą w standardowej bazie przestrzeni stycznej.

Przykład. Niech $x: U \rightarrow \mathbb{R}^3$ będzie powierzchnią siodłową w parametryzacji Mongea.

$$x(s, t) = (s, t, st).$$

Wtedy

$$x_1(s, t) = (1, 0, t) \qquad x_2(s, t) = (0, 1, s).$$

Biorąc odpowiednie iloczyny skalarne tych wektorów otrzymujemy następującą postać macierzy pierwszej formy podstawowej:

$$I_p = I_{x(s,t)} = \begin{bmatrix} 1+t^2 & st \\ st & 1+s^2 \end{bmatrix}$$

Definicja 6.10. Elementy macierzy I_p nazywamy **współczynnikami metrycznymi** lokalnego układu współrzędnych $x: U \rightarrow M$

- Uwaga.**
- Ponieważ iloczyn skalarny w \mathbb{R}^n jest formą symetryczną, więc I_p jest również formą symetryczną, zatem w każdym punkcie mamy $g_{12} = g_{21}$.
 - Gauss (a za nim część podręczników) używał oznaczeń E, F i G na (odpowiednio) g_{11}, g_{12} i g_{22} .

Lemat 6.11. Niech $M \subset \mathbb{R}^3$ będzie gładką powierzchnią i niech $x: U \rightarrow M$ będzie lokalnym układem współrzędnych. Wtedy

$$N = \frac{x_1 \times x_2}{\sqrt{\det(g_{ij})}}.$$

Dowód: Niech φ będzie kątem między x_1 i x_2 . Wtedy

$$\begin{aligned} \det(g_{ij}) &= g_{11}g_{22} - g_{12}^2 = \langle x_1, x_1 \rangle \langle x_2, x_2 \rangle - \langle x_1, x_2 \rangle^2 = \\ &= \|x_1\|^2 \|x_2\|^2 - \|x_1\|^2 \|x_2\|^2 \cos^2 \varphi = \\ &= \|x_1\|^2 \|x_2\|^2 (1 - \cos^2 \varphi) = \\ &= \|x_1\|^2 \|x_2\|^2 \sin^2 \varphi = \|x_1 \times x_2\|^2, \end{aligned}$$

i lemat wynika z definicji N . □

Ostatni lemat w tym wykładzie pokazuje jak zmieniają się współczynniki metryczne podczas przejścia do innego układu współrzędnych. Jak można się domyślać, będzie to związane z Jakobianem funkcji przejścia (podobnie jak na analizie podczas zmiany układu współrzędnych np. z ortogonalnego na sferyczny).

Lemat 6.12. Niech $M \subset \mathbb{R}^3$ będzie gładką powierzchnią i niech $x: U \rightarrow M$, $y: V \rightarrow M$ będą lokalnymi układami współrzędnych. Załóżmy, że $x(U) \cap y(V) \neq \emptyset$. Niech (g_{ij}) , [odpowiednio (\overline{g}_{ij})] oznacza macierz współczynników metrycznych dla x [odpowiednio y]. Jeśli przez J_Φ oznaczmy Jakobian (macierz pochodnych) funkcji zmiany układu współrzędnych $\Phi_{x,y}$ wtedy (\overline{g}_{ij}) wyrażają się następującymi wzorami

$$(\overline{g}_{ij} \circ \Phi_{x,y}) = (J_\Phi^{-1})^T (g_{ij}) J_\Phi^{-1}$$

Dowód: Pomijamy. □

Jako przykład zastosowania pierwszej formy podstawowej mamy następujący lemat.

Lemat 6.13. Niech $M \subset \mathbb{R}^3$ będzie powierzchnią gładką i niech $x: U \rightarrow M$ będzie lokalnym układem współrzędnych. Rozważmy krzywą gładką $\alpha(t) = (\alpha_1(t), \alpha_2(t)) \subset U$. Wtedy długość krzywej $\overline{\alpha} \stackrel{\text{def}}{=} x \circ \alpha: \mathbb{R} \rightarrow M$ na powierzchni jest równa

$$L(\overline{\alpha}) = \int_a^b \sqrt{I_{\alpha(t)}(\alpha'_1(t), \alpha'_2(t))} dt,$$

46 WYKŁAD 6. WEKTORY STYCZNE I NORMALNE. I FORMA PODSTAWOWA

co można bezpośrednio zapisać:

$$\int_a^b \sqrt{(\alpha'_1)^2 g_{11}(\alpha(t)) + 2\alpha'_1 \alpha'_2 g_{12}(\alpha(t)) + (\alpha'_2)^2 g_{22}(\alpha(t))} dt.$$

Dowód: Ćwiczenie. Zauważyć, że $(x \circ \alpha)(t)$ jest zwykłą krzywą w \mathbb{R}^3 . Wektor prędkości jest równy $x_1 \alpha'_1 + x_2 \alpha'_2$. Znaleźć jego długość. \square

Pochodne kierunkowe. Izometria.

7.1 Pochodne kierunkowe

Niech $M \subset \mathbb{R}^3$ będzie powierzchnią gładką i niech $p \in M$ będzie punktem na niej. Załóżmy, że mamy daną funkcję gładką $f: M \rightarrow \mathbb{R}$ oraz wektor $v \in T_p M$ z przestrzeni stycznej. Z definicji przestrzeni stycznej istnieje krzywa $\alpha: (-\varepsilon, \varepsilon) \rightarrow M$ taka że $\alpha(0) = p$ oraz $\alpha'(0) = v$. Oczywiście złożenie $f \circ \alpha: \mathbb{R} \rightarrow \mathbb{R}$ jest funkcją gładką, możemy więc rozważać jej pochodną.

Definicja 7.1. Przy oznaczeniach jak powyżej definiujemy **pochodną kierunkową** funkcji f w kierunku wektora v jako

$$\nabla_v f \stackrel{\text{def.}}{=} (f \circ \alpha)'(0).$$

Lemat 7.2. Definicja pochodnej kierunkowej nie zależy od wyboru krzywej α , tj. jeśli $\beta: (-\varepsilon, \varepsilon) \rightarrow M$ jest drugą krzywą o tej własności, że $\beta(0) = p$ oraz $\beta'(0) = v$ wtedy

$$(f \circ \alpha)'(0) = (f \circ \beta)'(0).$$

Dowód: Niech $x: U \rightarrow M$ będzie lokalnym układem współrzędnych wokół punktu $p \in M$. Możemy wybrać tak małe ε , że obrazy $\alpha(-\varepsilon, \varepsilon)$ i $\beta(-\varepsilon, \varepsilon)$ będą już zawarte w $x(U)$. Z definicji przestrzeni stycznej, wektory styczne do tych krzywych w 0 można wyrazić jako kombinacje liniowe wektorów x_1 i x_2 . Co więcej, z równości $\alpha'(0) = v = \beta'(0)$ wynika, że współczynniki tych kombinacji są sobie równe w punkcie p .

Zatem również

$$(x^{-1} \circ \alpha)'(0) = (x^{-1} \circ \beta)'(0).$$

Mamy wtedy

$$\begin{aligned} (f \circ \alpha)'(0) &= [(f \circ x) \circ (x^{-1} \circ \alpha)]'(0) = \\ &= J(f \circ x) \underbrace{(x^{-1} \circ \alpha(0))}_{=p=(x^{-1} \circ \beta(0))} \underbrace{(x^{-1} \circ \alpha)'(0)}_{=v=(x^{-1} \circ \beta)'(0)} = \\ &= J(f \circ x)(x^{-1} \circ \beta(0))(x^{-1} \circ \beta)'(0) = (f \circ \beta)'(0), \end{aligned}$$

gdzie J oznacza jacobian odwzorowania (macierz pochodnych cząstkowych).

□

Lemat 7.3. Niech $M \subset \mathbb{R}^3$ będzie powierzchnią gładką i niech $f, g: M \rightarrow \mathbb{R}$ będą funkcjami gładkimi. Dla wszystkich: punktów $p \in M$, wektorów $v, w \in T_p M$ z przestrzeni stycznej w punkcie p , oraz liczb rzeczywistych $a, b \in \mathbb{R}$ zachodzi

- $\nabla_{av+bw} f = a\nabla_v f + b\nabla_w f$
- $\nabla_v (af + bg) = a\nabla_v f + b\nabla_v (g)$
- $\nabla_v (fg) = g\nabla_v f + f\nabla_v g$

Uwaga. Dwie pierwsze własności mówią, że ∇ jest operatorem liniowym ze względu na argument (funkcję) i kierunek (wektor). Trzecia własność to tzw. reguła Leibniza, co może być wyrażone inaczej przez powiedzenie, że ∇ jest różniczkowaniem algebry funkcji gładkich na M . Nie będzie nas to jednak w dalszej części wykładu zajmowało.

Dowód: Własność drugą i trzecią pozostawiamy jako (proste) ćwiczenia. Wystarczy w nich skorzystać z podstawowych własności różniczkowania funkcji. Udowodnimy teraz pierwszą własność. Idea dowodu jest blisko związana z tą użytą w drugiej części dowodu lematu 6.3.

Niech $v = (v_1, v_2)$ oraz $w = (w_1, w_2)$. Bez straty ogólności możemy założyć, że $x(0, 0) = p$. Zdefiniujmy

$$\alpha_v(t) \stackrel{\text{def.}}{=} x(av_1 t, av_2 t) \quad \alpha_w(t) \stackrel{\text{def.}}{=} x(bw_1 t, bw_2 t),$$

oraz niech

$$\beta(t) \stackrel{\text{def.}}{=} x((av_1 + bw_1)t, (av_2 + bw_2)t)$$

Wówczas pochodna β w $t = 0$ jest równa

$$\beta'(t)|_{t=0} = \underbrace{a(v_1 x_1 + v_2 x_2)}_{=\alpha'_v(0)} + \underbrace{b(w_1 x_1 + w_2 x_2)}_{=\alpha'_w(0)} = v + w.$$

Wtedy

$$\begin{aligned} \nabla_{av+bw} f &= (f \circ \beta)'(0) = \frac{\partial f(\beta(t))}{\partial \beta(t)} \beta'(t) \Big|_{t=0} = \\ &= a \frac{\partial f(\beta(0))}{\partial \beta(0)} (v_1 x_1 + v_2 x_2) + b \frac{\partial f(\beta(0))}{\partial \beta(0)} (w_1 x_1 + w_2 x_2) = \\ &= a \frac{\partial f(\alpha_v(0))}{\partial \alpha_v(0)} \alpha'_v(0) + b \frac{\partial f(\alpha_w(0))}{\partial \alpha_w(0)} \alpha'_w(0) = \\ &= a(f \circ \alpha_v)'(t) \Big|_{t=0} + b(f \circ \alpha_w)'(t) \Big|_{t=0} = a\nabla_v f + b\nabla_w f. \end{aligned}$$

□

7.2 Izometria

Definicja 7.4. Niech $M \subset \mathbb{R}^3$ będzie powierzchnią gładką i niech $f: M \rightarrow \mathbb{R}^3$ będzie odwzorowaniem gładkim (tj. polem wektorowym). **Pochodną** f w punkcie $p \in M$ definiujemy jako

$$Df_p: T_p M \rightarrow \mathbb{R}^3$$

$$v \mapsto \nabla_v f = (\nabla_v f_1, \nabla_v f_2, \nabla_v f_3).$$

Chociaż definicja wygląda na powtórzenie definicji pochodnej kierunkowej, sama różnica w napisach

$$\nabla_v f(p) \quad \text{vs.} \quad Df_p(v)$$

zmienia nasz punkt widzenia. Przy definicji pochodnej kierunkowej, wektor v uważaliśmy za stały, a zmiennymi były funkcje (lub pola wektorowe). W pochodnej funkcji f na powierzchni mamy na myśli ustaloną funkcję której zmienność badamy we wszystkich (stycznych) kierunkach v .

Lemat 7.5. Niech $M, N \subset \mathbb{R}^3$ będą powierzchniami gładkimi, $p \in M$ punktem, oraz niech $f: M \rightarrow N$ będzie odwzorowaniem gładkim. Wtedy dla każdego $v \in T_p M$ mamy $Df_p(v) \in T_{f(p)} N$ oraz

$$Df_p: T_p M \rightarrow T_{f(p)} N$$

jest odwzorowaniem liniowym.

Dowód: Liniowość wynika natychmiast z liniowości pochodnej kierunkowej, (Lemat 7.3, punkt drugi) więc musimy tylko pokazać, że $Df_p(v) \in T_{f(p)} N$.

Niech $v \in T_p M$. Wtedy istnieje taka krzywa $\alpha: (-\varepsilon, \varepsilon) \rightarrow M$, że $\alpha(0) = p$ oraz $\alpha'(0) = v$. Mamy wtedy

$$Df_p(v) = \nabla_v f = (f \circ \alpha)'(0).$$

Zauważmy, że krzywa

$$f \circ \alpha: (-\varepsilon, \varepsilon) \rightarrow N$$

jest krzywą na powierzchni N , oraz $(f \circ \alpha)(0) = f(p)$. Zatem z definicji przestrzeni stycznej otrzymujemy $(f \circ \alpha)'(0) \in T_{f(p)} N$, czyli $Df_p(v) \in T_{f(p)} N$. \square

Przykład. Rozważmy odwzorowanie $f: \mathbb{R}^2 \rightarrow S^1 \times \mathbb{R}$ zadane wzorem

$$f(s, t) = (\cos s, \sin s, t).$$

(Jest to odwzorowanie które owija walec arkuszem papieru.) Dla $p = (0, 0) \in \mathbb{R}^2$ mamy $f(p) = (1, 0, 0)$. Zauważmy, że

$$T_{f(p)}(S^1 \times \mathbb{R}) = \{(1, y, z) : y, z \in \mathbb{R}\}.$$

Wyberzmy $v = (a, b) \in T_p \mathbb{R}^2$ i niech $\alpha: (-\varepsilon, \varepsilon) \rightarrow \mathbb{R}^2$ będzie zadana przez $\alpha(t) = (at, bt)$. Wtedy oczywiście

$$\alpha(0) = p, \quad \alpha'(0) = v, \quad \text{oraz} \quad f \circ \alpha(t) = (\cos at, \sin at, bt).$$

$$Df_p(v) = \nabla_v f = (f \circ \alpha)'|_{t=0} = (-a \sin at, a \cos at, b)|_{t=0} = (0, a, b).$$

Definicja 7.6. Niech $M, N \subset \mathbb{R}^3$ będą gładkimi powierzchniami i niech $f: M \rightarrow N$ będzie odwzorowaniem gładkim.

- Mówimy, że f jest **izometrią** jeśli f jest *dyfeomorfizmem*, oraz pierwsza forma podstawowa jest niezmiennicza ze względu na f , i.e.

$$I_p(v, w) = I_{f(p)}(Df_p(v), Df_p(w)),$$

dla wszystkich $p \in M$ i wszystkich $v, w \in T_p(M)$.

- Funkcję f nazywamy **lokalną izometrią**, jeśli dla każdego punktu $p \in M$ istnieje jego otoczenie otwarte $U \subset M$ takie, że $f(U) \subset N$ jest zbiorem otwartym (w N), oraz $f|_U: U \rightarrow f(U)$ jest izometrią.

Uwaga. Powyższą równość można zapisać

$$\langle v, w \rangle = \langle Df_p(v), Df_p(w) \rangle,$$

co daje użyteczne kryterium sprawdzania, czy f jest izometrią.

Warto zauważyć, że izometria od lokalnej izometrii różni się tylko i wyłącznie tym, że lokalna izometria nie musi być dyfeomorfizmem całych przestrzeni. Jest to niewielka, lecz jak zobaczymy ważna różnica.

Lemat 7.7. Niech $M, N \subset \mathbb{R}^3$ będą gładkimi powierzchniami i niech $f: M \rightarrow N$ będzie odwzorowaniem gładkim. Następujące warunki są równoważne.

1. f jest lokalną izometrią.
2. Równość $I_p(v, w) = I_{f(p)}(Df_p(v), Df_p(w))$ zachodzi dla wszystkich $p \in M$ oraz $v, w \in T_p M$.
3. Dla każdego $p \in M$ istnieje lokalny układ współrzędnych $x: U \rightarrow M$ wokół p taki, że $f \circ x: U \rightarrow N$ jest lokalnym układem współrzędnych o takich samych współczynnikach metrycznych g_{ij} jak x .
4. Dla każdego punktu $p \in M$ istnieje takie jego otoczenie otwarte $A \subset M$, że jeśli $\alpha: (a, b) \rightarrow A$ jest gładką krzywą, to długość $\alpha \subset M$ jest taka sama jak długość $f \circ \alpha \subset N$.

Dowód: Udowodnimy tylko, że lokalna izometria zachowuje współczynniki metryczne. Resztę implikacji pozostawiamy jako (opcjonalne) zadania.

Niech $x: U \rightarrow M$ będzie lokalnym układem współrzędnych wokół $p \in M$.

(2) \Rightarrow (3): Pokażemy, że pochodna złożenia $f \circ x$ ma rangę 2, więc z twierdzenia o funkcji uwikłanej wynika, że $f \circ x$ na pewnym otoczeniu $V \subset U$ jest dyfeomorfizmem na swój obraz.

Niech $\{e_1, e_2\}$ będzie standardową bazą w \mathbb{R}^2 . Niech $q \in x(U)$ oraz niech $\bar{q} = x^{-1}(q)$. Zdefiniujmy teraz krzywe

$$\alpha_{q,i}(t) = x(\bar{q} + te_i), \quad i = 1, 2,$$

działające z $(-\varepsilon, \varepsilon) \rightarrow x(U)$ dla odpowiednio małego ε .

Z definicji $\alpha_{q,i}$ wiemy, że:

$$\alpha_{q,i}(0) = q, \quad \alpha'_{q,i}(0) = x_i,$$

natomiast z reguły łańcuchowej wynika, że

$$f \circ \alpha_{q,i}(0) = f(q), \quad (f \circ \alpha_{q,i})'(0) = (f \circ x)_i,$$

gdzie wartości pochodnych x_i oraz $(f \circ x)_i$ są wzięte dla $\bar{q} \in U$. Ponownie z definicji uzyskujemy

$$(f \circ x)_i = (f \circ \alpha_{q,i})'(0) = \nabla_{x_i} f = Df_q(x_i),$$

więc korzystając z założenia mamy

$$\langle (f \circ x)_i, (f \circ x)_i \rangle = \langle Df_q(x_i), Df_q(x_j) \rangle = \langle x_i, x_j \rangle$$

dla wszystkich $i, j = 1, 2$.

Z powyższego równania wynika, że $\|(f \circ x)_i\| = \|x_i\|$, oraz kąt między $(f \circ x)_1$ i $(f \circ x)_2$ jest taki sam jak między x_1 i x_2 . Zatem z liniowej niezależności x_1 i x_2 wynika liniowa niezależność $(f \circ x)_1$ i $(f \circ x)_2$, czyli $\text{rank}(f \circ x) = 2$ na odpowiednio pomniejszonym zbiorze $V \subset U$ (tak by $\alpha_{q,i}$ były dobrze określone). Wreszcie z twierdzenia o funkcji uwikłanej wynika, że $f \circ x: V \rightarrow N$ jest lokalnym układem współrzędnych. Równość współczynników metrycznych wynika natychmiast z powyższej równości. \square

Pokażemy teraz, że funkcja $f: \mathbb{R}^2 \rightarrow S^1 \times \mathbb{R}$ określona przez

$$f(s, t) = (\cos s, \sin s, t)$$

jest lokalną izometrią (ale oczywiście nie jest izometrią).

Niech $p = (p_1, p_2) \in \mathbb{R}^2$ oraz niech $U = (p_1 - \pi, p_1 + \pi) \times \mathbb{R}$. Wtedy inkluzja $x: U \rightarrow \mathbb{R}^2$ jest lokalnym układem współrzędnych w \mathbb{R}^2 , oraz $f \circ x: U \rightarrow S^1 \times \mathbb{R}$ jest injekcją. Co więcej mamy

$$(f \circ x)_1 = (-\sin s, \cos s, 0) \quad \text{oraz} \quad (f \circ x)_2 = (0, 0, 1),$$

więc

$$(f \circ x)_1 \times (f \circ x)_2 = (\cos s, \sin s, 0) \neq (0, 0, 0)$$

czyli $f \circ x$ jest lokalnym układem współrzędnych.

Obliczenie współczynników metrycznych zarówno dla x jak i $f \circ x$ skutkuje wyznaczeniem macierzy pierwszej formy podstawowej, w każdym z przypadków równej

$$\begin{bmatrix} 1 & 0 \\ 0 & 1 \end{bmatrix}.$$

Jednocześnie jest jasnym, że f nie może być izometrią, ponieważ w przeciwnym przypadku \mathbb{R}^2 musiałoby być dyfeomorficzne z $S^1 \times \mathbb{R}$.

Krzywizna Gaussa I

8.1 Odwzorowanie Gaussa

Tak jak został zdefiniowany wektor normalny (jako $\frac{x_1 \times x_2}{\|x_1 \times x_2\|}$, definicja 6.4), jest on raczej funkcją z $\mathbb{R}^2 \rightarrow \mathbb{R}^3$ (lub $\mathbb{R}^2 \rightarrow S^2$). Jednak dla celów dalszego wykładu chcielibyśmy, aby był funkcją gładką określoną *na powierzchni*. Stąd następująca definicja:

Definicja 8.1. Niech $M \subset \mathbb{R}^3$ będzie powierzchnią gładką, oraz niech $x: U \rightarrow M$ będzie lokalnym układem współrzędnych. **Odwzorowaniem Gaussa** nazywamy odwzorowanie $\hat{n}: x(U) \rightarrow S^2$ zadane wzorem

$$\hat{n}(p) \stackrel{\text{def.}}{=} n \circ x^{-1}(p),$$

gdzie $n = \frac{x_1 \times x_2}{\|x_1 \times x_2\|}$.

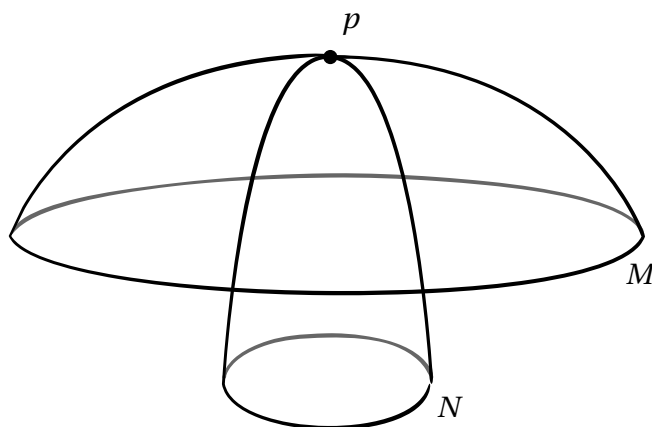
- Uwaga.**
- *Zauważmy, że dla różnych lokalnych układów współrzędnych dobrze określony jest tylko kierunek normalny, więc (jednostkowy) wektor normalny może się różnić co najwyżej o czynnik (-1) w stosunku do wyjściowego. Nie będzie to jednak zmieniać w istotny sposób dalszych obliczeń. Możemy przyjąć, że jeśli powierzchnia jest zamknięta, to wybieramy kierunek "zewnątrzny".*
 - *Odwzorowanie Gaussa z całą pewnością zależy od tego w jaki sposób powierzchnia M jest umieszczona w \mathbb{R}^3 i może się zmienić, gdy zaczniemy tę powierzchnię deformować.*

8.2 Krzywizna Gaussa – Idea

Chcemy zdefiniować krzywiznę powierzchni, więc szukamy funkcji $K: M \rightarrow \mathbb{R}$, która będzie spełniać następujące własności:

1. $K: M \rightarrow \mathbb{R}$ jest funkcją gładką;
2. krzywizna $K(p)$ jest niezależna od wyboru lokalnego układu współrzędnych, zależy tylko od kształtu powierzchni;

3. jeśli (otwarty, o niepustym wnętrzu) zbiór naszej powierzchni jest zawarty w płaszczyźnie, wtedy krzywizna na nim powinna znikać;
4. w sytuacji na rysunku krzywizna powierzchni M w punkcie p powinna być *mniejsza* niż krzywizna powierzchni N w tym punkcie, $K_M(p) < K_N(q)$.



Spróbujmy zdefiniować krzywiznę w punkcie $p \in M$ następująco:

- Ustalmy punkt $p \in M$ i lokalny układ współrzędnych $x: U \rightarrow M$ wokół p .
- Wybierzmy niewielkie otoczenie otwarte $V \subset x(U)$ zawierające punkt p .
- Kiedy punkt p należy do zbioru V , wtedy $\hat{n}(p)$ należy do zbioru $\hat{n}(V) \subset S^2$,
- zbadajmy więc stosunek **pól powierzchni**

$$\frac{A(\hat{n}(V)), \hat{n}(V) \subset S^2}{A(V), V \subset M};$$

- Gauss definiował krzywiznę jako

$$K_G(p) \stackrel{\text{def.}}{=} \lim_{V \rightarrow p} \frac{A(\hat{n}(V))}{A(V)}.$$

Problemy:

1. Czy ta granica jest niezależna od wyboru otoczeń V ? Jak to formalnie zdefiniować?
2. Jak zdefiniować pole wyznaczone przez $\hat{n}(V)$ kiedy \hat{n} nie jest injekcją?
3. Co się stanie jeśli odwzorowanie Gaussa “odwraca” obszar V ? Czy wtedy należałoby brać pole $A(\hat{n}(V))$ ze znakiem ujemnym?

Przykład. Niech $S^2 \subset \mathbb{R}^3$ oznacza sferę o promieniu R i środku w punkcie $(0, 0, 0)$ i niech

$$x(\phi, \psi) = (R \cos \phi \cos \psi, R \sin \phi \cos \psi, R \sin \psi)$$

będzie na niej lokalnym układem współrzędnych. Mamy

$$x_\phi = R(-\sin \phi \cos \psi, \cos \phi \cos \psi, 0),$$

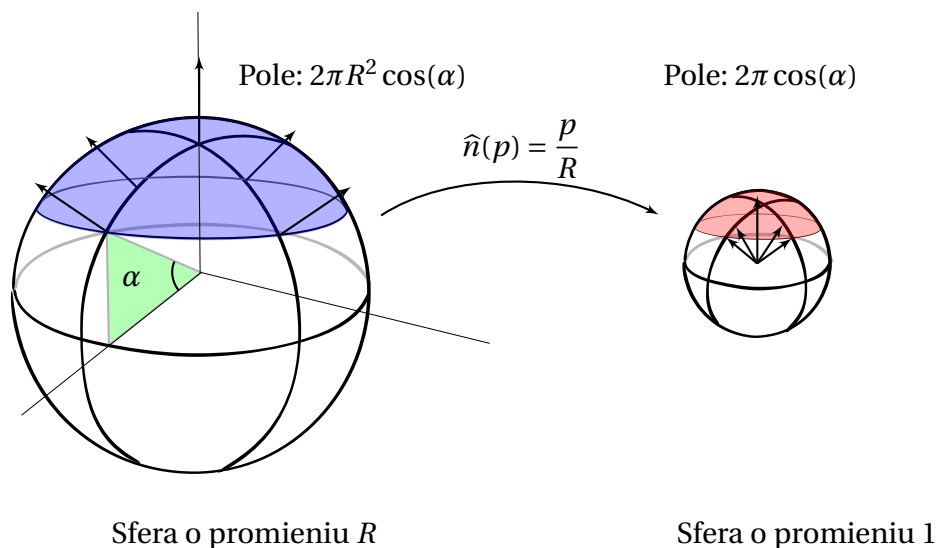
$$x_\psi = R(-\cos \phi \sin \psi, -\sin \phi \sin \psi, \cos \psi),$$

więc jeśli wybierzemy (zgodnie z konwencją) wektor normalny n wskazujący na zewnątrz, wtedy

$$\hat{n}(p) = \frac{x_\phi \times x_\psi}{\|x_\phi \times x_\psi\|} = \frac{p}{R}$$

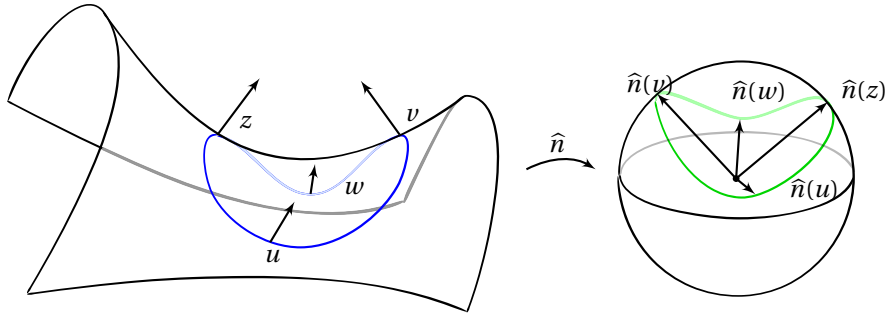
dla całej sfery.

Widzimy więc, że odwzorowanie Gaussa zmniejsza obszar o czynnik $\frac{1}{R^2}$ i nie ma żadnych problemów z definicją.



$$K_{\mathcal{G}}(p) = \frac{A(\hat{n}(V))}{A(V)} = \frac{2\pi \cos(\alpha)}{2\pi R^2 \cos(\alpha)} = \frac{1}{R^2}.$$

Przykład. Rozważmy powierzchnię siodłową $x(u, v) = (x, y, xy)$. Rozważmy niewielki okrąg S na płaszczyźnie $z = 0$ i środka w $(0, 0)$, wtedy jego obraz $x(S)$ leży na powierzchni siodłowej. Obcięcie odwzorowania Gaussa do $x(S)$ jest również okręgiem (leżącym teraz na sferze), jednak jeśli obiegamy okrąg S w lewo, wówczas kierunek na $\hat{n}(x(S))$ ulega odwróceniu. Zatem chcielibyśmy nadać znak ujemny $A(\hat{n}(V)) < 0$ gdzie V jest obszarem ograniczonym przez $x(S)$.



8.3 Pole powierzchni

Podobnie jak wcześniej wyraziliśmy długość, teraz wyrazimy pole powierzchni w języku współczynników metrycznych.

Definicja 8.2. Niech $M \subset \mathbb{R}^3$ będzie powierzchnią gładką i niech $x: U \rightarrow M$ będzie lokalnym układem współrzędnych. **Pole podzbioru** $S \subset x(U)$ wyraża się wzorem

$$A(S) \stackrel{\text{def.}}{=} \iint_{x^{-1}(S)} \sqrt{|\det(g_{ij})|} ds dt.$$

Motywacją geometryczną jest to, że $\sqrt{|\det(g_{ij})|}$ jest równe polu równoległoboku rozpiętego przez x_1 i x_2 , który jest styczny do powierzchni w tym punkcie.

Lemat 8.3. *Założmy, że $S \subset x(U) \cap y(V)$ dla dwóch lokalnych układów współrzędnych x, y na M . Niech (g_{ij}) , [odpowiednio (\overline{g}_{ij})] oznacza macierz współczynników metrycznych dla x [odpowiednio y]. Wtedy*

$$\iint_{x^{-1}(S)} \sqrt{|\det(g_{ij})|} ds dt = \iint_{y^{-1}(S)} \sqrt{|\det(\overline{g}_{ij})|} ds dt.$$

Dowód pomijamy.

Zauważmy teraz, że

$$\langle x_1 \times x_2, n \rangle = \langle \|x_1 \times x_2\| n, n \rangle = \|x_1 \times x_2\| = \sqrt{|\det(g_{ij})|},$$

zatem mamy

$$A(V) = \iint_{x^{-1}(V)} |\langle x_1 \times x_2, n \rangle| ds dt.$$

Analogicznie możemy zdefiniować pole $\hat{n}(V)$ jako

$$A(\hat{n}(V)) = \iint_{x^{-1}(V)} |\langle n_1 \times n_2, n \rangle| ds dt,$$

gdzie n_1, n_2 są pochodnymi cząstkowymi n po zmiennych odpowiednio s i t . To rozwiązuje problemy (2) i (3) powyżej, jednak problem (1) (niezależności definicji od wyboru otoczeń V) pozostaje.

Oczywiście używając odpowiednio zaawansowanego aparatu matematycznego można pokazać, że krzywizna (wg. definicji Gaussa) faktycznie nie zależy od wyboru zstępujących otoczeń V , ale my spróbujemy przedstawić bardziej współczesne podejście, które okaże się równoważne definicji Gaussa.

8.4 Powtórka z algebry liniowej II

Powtórka z algebry liniowej II

Niech W będzie rzeczywistą przestrzenią wektorową i niech \langle, \rangle będzie iloczynem skalarnym na W .

Definicja 8.4. Rozważmy odwzorowanie liniowe $F: W \rightarrow W$. Odwzorowaniem dwuliniowym **indukowanym przez F** nazywamy odwzorowanie $\mathcal{B}_F: W \times W \rightarrow \mathbb{R}$ zadane przez

$$\mathcal{B}_F(v, w) = \langle F(v), w \rangle.$$

Przykład. Niech $F: \mathbb{R}^2 \rightarrow \mathbb{R}^2$ będzie zadane wzorem (w bazie standardowej!)

$$F(v_1, v_2) = \begin{bmatrix} 1 & 2 \\ 0 & -1 \end{bmatrix} \begin{bmatrix} v_1 \\ v_2 \end{bmatrix} = (v_1 + 2v_2, -v_2).$$

Przykład. Odwzorowanie $\mathcal{B}_F: \mathbb{R}^2 \rightarrow \mathbb{R}$ indukowane przez F jest równe

$$\begin{aligned} \mathcal{B}_F((v_1, v_2), (w_1, w_2)) &= \langle F(v_1, v_2), (w_1, w_2) \rangle = \\ &= \left\langle \begin{bmatrix} 1 & 2 \\ 0 & -1 \end{bmatrix} \begin{bmatrix} v_1 \\ v_2 \end{bmatrix}, (w_1, w_2) \right\rangle = \\ &= \langle (v_1 + 2v_2, -v_2), (w_1, w_2) \rangle = (v_1 + 2v_2)w_1 - v_2w_2. \end{aligned}$$

Ustalmy bazę przestrzeni W . Wtedy odwzorowanie F i odwzorowanie indukowane B_F mogą być reprezentowane przez odpowiednie macierze. Następujący lemat przedstawia związki zachodzące między tymi macierzami.

Lemat 8.5. Niech (W, \langle, \rangle) będzie przestrzenią wektorową z iloczynem skalarnym. Ustalmy bazę tej przestrzeni.

- Oznaczmy przez \mathbf{G} macierz iloczynu skalarnego w tej bazie.
- Niech $F: W \rightarrow W$ będzie odwzorowaniem liniowym o macierzy \mathbf{A} w powyższej bazie.
- Niech \mathbf{M} oznacza macierz odwzorowania B_F indukowanego przez F (znów macierz w powyższej bazie).

Wtedy $\mathbf{M} = \mathbf{A}^t \mathbf{G}$.

Przykład. Niech F będzie tak jak z poprzedniego przykładu. Na $W = \mathbb{R}^2$ wybierzmy standardową bazę $\{e_1, e_2\}$. Naturalny iloczyn skalarny na \mathbb{R}^2 ma w tej bazie macierz $\mathbf{G} = \text{Id}$. Zatem macierzą odwzorowania \mathcal{B}_F jest macierz

$$\begin{bmatrix} 1 & 2 \\ 0 & -1 \end{bmatrix}^t \cdot \text{Id} = \begin{bmatrix} 1 & 0 \\ 2 & -1 \end{bmatrix} \cdot \text{Id},$$

zatem

$$\mathcal{B}_F((v_1, v_2), (w_1, w_2)) = [v_1, v_2] \begin{bmatrix} 1 & 0 \\ 2 & -1 \end{bmatrix} \cdot \text{Id} \begin{bmatrix} w_1 \\ w_2 \end{bmatrix}$$

Lemat 8.6. Niech W będzie przestrzenią wektorową i \mathcal{B} formą dwuliniową na W .

- \mathcal{B} jest formą symetryczną wtedy i tylko wtedy, gdy macierz odwzorowania \mathcal{B} w dowolnej bazie W jest macierzą symetryczną.
- Niech $F: W \rightarrow W$ będzie odwzorowaniem liniowym. Następujące warunki są równoważne:
 1. macierz \mathbf{A} odwzorowania F jest symetryczna w każdej bazie ortonormalnej przestrzeni W ,
 2. forma dwuliniowa \mathcal{B}_F indukowana przez F jest symetryczna.

Uwaga. Symetryczność formy \mathcal{B} oznacza, że spełniona jest równość

$$\mathcal{B}(v, w) = \mathcal{B}(w, v).$$

Jeśli macierz \mathbf{A} odwzorowania F jest symetryczna, wtedy $\mathbf{A} = \mathbf{A}^t$. Ponadto, jeśli jest symetryczna w każdej bazie, możemy wybrać na W taką bazę w której macierz \mathbf{G} iloczynu skalarnego na W jest macierzą identycznościową. Zatem

$$\mathcal{B}_F(v, w) = v\mathbf{A}^t \cdot \mathbf{G}w = w^t (\mathbf{A}^t)^t v^t = \mathcal{B}_F(w, v).$$

Lemat 8.7. Niech $F: W \rightarrow W$ będzie odwzorowaniem liniowym. Załóżmy, że macierz \mathbf{A} formy F jest symetryczna w każdej bazie ortonormalnej W . Wtedy

- F ma rzeczywiste wartości własne k_i .
- wektory odpowiadające wartościom własnym F są ortogonalne.
- Macierz \mathbf{A} odwzorowania F w dowolnej bazie spełnia

$$\det \mathbf{A} = \prod_i k_i \quad \text{oraz} \quad \text{tr} \mathbf{A} = \sum_i k_i.$$

Niech $W = \mathbb{R}^2$ i niech $F: \mathbb{R}^2 \rightarrow \mathbb{R}^2$ będzie zadane przez symetryczną macierz rzeczywistą

$$\mathbf{A} = \begin{bmatrix} a & b \\ b & c \end{bmatrix}.$$

Wielomian charakterystyczny \mathbf{A} :

$$f_{\mathbf{A}}(t) = \det \begin{bmatrix} a-t & b \\ b & c-t \end{bmatrix} = t^2 - (a+c)t - (b^2 - ac)$$

posiada deltę nieujemną $\Delta = (a-c)^2 + 4b^2$, więc ma dwa pierwiastki rzeczywiste (są to wartości własne \mathbf{A}).

Przykład. Niech $W = \mathbb{R}^2$ i niech $F: \mathbb{R}^2 \rightarrow \mathbb{R}^2$ będzie zadana (w standardowej bazie) przez macierz

$$\mathbf{A} = \begin{bmatrix} 1 & 1 \\ 1 & 0 \end{bmatrix}$$

Mamy wtedy

- $f_{\mathbf{A}}(t) = (1-t)t - 1 = t^2 - t - 1$
- $k_1 = \frac{1+\sqrt{5}}{2}$, oraz $k_2 = \frac{1-\sqrt{5}}{2}$.
- $k_1 k_2 = \frac{1-\sqrt{5}^2}{4} = -1 = \det \mathbf{A}$, oraz $k_1 + k_2 = 1 = \operatorname{tr} \mathbf{A}$.

Zadanie. Oswoić wszystkie nieznane definicje pojawiające się w powyższej powtórce z algebry liniowej i zrozumieć sformułowania powyższych twierdzeń (niekoniecznie z dowodami!)

Krzywizna Gaussa II

9.1 Odwzorowanie Weingartena

Lemat 9.1. Niech $M \subset \mathbb{R}^3$ będzie powierzchnią gładką, oraz niech $x: U \rightarrow M$ będzie lokalnym układem współrzędnych wokół $p \in x(U)$.

Dla każdego wektora $v \in T_p(M)$ pochodna kierunkowa

$$D\hat{n}(v) \in T_p M$$

(rozważanej abstrakcyjnie jako 2-wymiarowa podprzestrzeń liniowa w \mathbb{R}^3).

Dowód: Wektor normalny $\hat{n}(p)$ ma długość 1 w każdym punkcie, więc możemy zapisać $\langle \hat{n}, \hat{n} \rangle = 1$ wewnątrz $x(U)$. (Uwaga: poza tym obszarem zapis \langle, \rangle nie ma sensu!)

Wtedy

$$0 = D\langle \hat{n}, \hat{n} \rangle(v) = \nabla_v \langle \hat{n}, \hat{n} \rangle = 2\langle \nabla_v \hat{n}, \hat{n} \rangle = 2\langle D\hat{n}(v), \hat{n} \rangle,$$

więc $D\hat{n}(v)$ jest zawsze prostopadły do \hat{n} , zatem musi należeć do $T_p M$. \square

Definicja 9.2. Przy powyższych oznaczeniach **odwzorowaniem Weingartena** w punkcie p nazywamy odwzorowanie $L: T_p M \rightarrow T_p M$ zadane przez

$$L(v) \stackrel{\text{def.}}{=} -D\hat{n}(v) = -\nabla_v \hat{n}.$$

Lemat 9.3. Odwzorowanie Weingartena $L: T_p M \rightarrow T_p M$ jest odwzorowaniem liniowym.

Dowód: Lemat wynika z liniowości pochodnej kierunkowej (lemat 7.3). \square

Uwaga. Chociaż do definicji odwzorowania Weingartena używamy lokalnego układu współrzędnych, jednak przy innym wyborze $x: U \rightarrow M$, odwzorowanie L może się różnić tylko o znak \pm .

9.2 Druga forma podstawowa

Definicja 9.4. Niech $M \subset \mathbb{R}^3$ będzie powierzchnią gładką i niech $x: U \rightarrow M$ będzie lokalnym układem współrzędnych wokół $p \in x(U)$. **Druga forma podstawowa** w punkcie p to odwzorowanie dwuliniowe $\Pi_p: T_p M \times T_p M \rightarrow \mathbb{R}$ indukowane przez odwzorowanie Weingartena L , tj. zadane wzorem

$$\Pi_p(v, w) = \langle L(v), w \rangle,$$

dla wszystkich v, w z przestrzeni stycznej $T_p M$.

Uwaga. Tak jak odwzorowanie Weingartena, druga forma podstawowa jest zdefiniowana z dokładnością do znaku.

Uwaga (Oznaczenie). Macierze odwzorowania Weingartena i drugiej formy podstawowej (w standardowej bazie przestrzeni stycznej x_1, x_2) oznaczamy odpowiednio przez

$$(L_{ij}) = \begin{bmatrix} L_{11} & L_{12} \\ L_{21} & L_{22} \end{bmatrix} \quad (l_{ij}) = \begin{bmatrix} l_{11} & l_{12} \\ l_{21} & l_{22} \end{bmatrix}$$

Wniosek. Na podstawie powtórki z algebry liniowej II, mamy

$$(l_{ij}) = (L_{ij})^t (g_{ij}),$$

więc korzystając z własności odwrotności i transpozycji otrzymujemy

$$(L_{ij}) = (g_{ij})^{-1} (l_{ij})^t.$$

Następujący lemat pokazuje sposób na łatwe policzenie współczynników drugiej formy podstawowej l_{ij} .

Lemat 9.5. Niech $M \subset \mathbb{R}^3$ będzie gładką powierzchnią, oraz niech $x: U \rightarrow M$ będzie lokalnym układem współrzędnych wokół $p \in x(U)$.

1. (Równania Weingartena) Dla $i = 1, 2$ zachodzi

$$n_i = -L_{1i}x_1 - L_{2i}x_2.$$

2. Dla indeksów $i, j = 1, 2$, współczynniki macierzy drugiej formy podstawowej są równe

$$l_{ij} = -\langle n_i, x_j \rangle = \langle n, x_{ij} \rangle,$$

gdzie x_{ij} jest oznaczeniem drugiej pochodnej cząstkowej (względem zmiennych i -tej i j -tej).

Dowód:

(1.) Mamy następujący ciąg równości:

$$n_i = \frac{\partial(\hat{n} \circ x)}{\partial u_i} = \nabla_{x_i} \hat{n} = -L(x_i) = -L_{1i}x_1 - L_{2i}x_2,$$

gdzie $x = x(u_1, u_2)$ (u_i są zmiennymi lokalnego układu współrzędnych x).

(2.) Mamy

$$l_{ij} = \Pi(x_i, x_j) = \langle L(x_i), x_j \rangle^* = -\langle \nabla_{x_i} n, x_j \rangle = -\langle n_i, x_j \rangle,$$

co dowodzi pierwszej równości w punkcie 2 (równość * wynika z dowodu pierwszej części). Aby udowodnić drugą równość, skorzystamy z tego, że $\langle n, x_i \rangle = 0$. Mamy

$$0 = \frac{\partial \langle n, x_j \rangle}{\partial u_i} = \langle n_i, x_j \rangle + \langle n, x_{ij} \rangle,$$

skąd natychmiast wynika druga równość. \square

Lemat 9.6. • *Druga forma podstawowa II jest symetryczna.*

- *Macierz (L_{ij}) odwzorowania Weingartena L jest symetryczna w każdej bazie ortonormalnej.*

Dowód : Symetryczność macierzy (l_{ij}) wynika z równości $l_{ij} = \langle n, x_{ij} \rangle$ oraz $x_{12} = x_{21}$.

Druga teza wynika wtedy z powiązań macierzy symetrycznej z symetrycznością odwzorowania przez nią indukowanego (lemat 8.6 cytowany podczas powtórki z algebry liniowej II). \square

Uwaga. Z powyższych rozważań wcale nie wynika, że macierz odwzorowania Weingartena (L_{ij}) jest symetryczna. Jeśli baza przestrzeni stycznej $\{x_1, x_2\}$ nie będzie ortonormalna w punkcie p , wtedy najczęściej $L_{ij}(p)$ nie będzie macierzą symetryczną. (ogólniej: nie możemy wtedy zastosować do niej lematu 8.6).

Uwaga. Wiedząc, że macierz (l_{ij}) jest symetryczna, możemy przepisać uzyskaną wcześniej równość do prostszej

$$(L_{ij}) = (g_{ij})^{-1}(l_{ij}).$$

9.3 Krzywizna Gaussa oraz krzywizna średnia

Jak pamiętamy intuicyjna definicja krzywizny wokół punktu p kazała nam porównywać pole na powierzchni z polem zakreślonym przez wektor normalny. Ponieważ odwzorowanie Weingartena charakteryzuje lokalne zmiany wektora normalnego, może się nadawać do definicji krzywizny.

Niezmiennikami numerycznymi macierzy 2×2 są wyznacznik i ślad. Co więcej, są to niezmienniki odpowiadającego danej macierzy odwzorowania liniowego (tj. są te same dla macierzy sprzężonych), dlatego właśnie je użyjemy w poniższych definicjach.

Krzywizna powierzchni

Definicja 9.7. Niech $M \subset \mathbb{R}^3$ będzie powierzchnią gładką i niech L będzie oznaczało odwzorowanie Weingartena. Zdefiniujmy dwie funkcje skalarne $K: M \rightarrow \mathbb{R}$, $H: M \rightarrow \mathbb{R}$ następująco

$$K(p) = \det L(p) \qquad H(p) = \frac{1}{2} \operatorname{tr} L(p).$$

Nazywamy je odpowiednio **krzywizną Gaussa** i **krzywizną średnią**.

Lemat 9.8. *Krzywizna Gaussa i krzywizna średnia nie zależą od wyboru macierzy reprezentującej odwzorowanie Weingartena, tj. nie zależą od wyboru bazy przestrzeni stycznej $T_p M$.*

Dowód: Dowód wynika z odpowiedniego przedstawienia wyznacznika i śladu:

$$\det L(p) = k_1 k_2, \operatorname{tr} L(p) = k_1 + k_2.$$

cytowanego w powtórce z algebry liniowej II (Lemat 8.7). □

Lemat 9.9. *Niech $M \subset \mathbb{R}^3$ będzie powierzchnią gładką, oraz niech $x: U \rightarrow M$ będzie lokalnym układem współrzędnych wokół $p \in x(U)$.*

$$K(p) = \frac{\det(l_{ij})}{\det(g_{ij})}, \quad \text{oraz} \quad H(p) = \frac{g_{11}l_{22} - 2g_{12}l_{12} + g_{22}l_{11}}{2\det(g_{ij})}$$

Dowód: Przypomnijmy, że $(L_{ij}) = (g_{ij})^{-1}(l_{ij})$. Mamy zatem

$$K(p) = \det(L_{ij}) = \det((g_{ij})^{-1}(l_{ij})) = \frac{\det(l_{ij})}{\det(g_{ij})}.$$

Podobnie

$$\begin{aligned} H(p) &= \frac{1}{2} \operatorname{tr}(L_{ij}) = \frac{1}{2 \det(g_{ij})} \operatorname{tr} \left(\begin{bmatrix} g_{22} & -g_{21} \\ -g_{12} & g_{11} \end{bmatrix} \begin{bmatrix} l_{11} & l_{12} \\ l_{21} & l_{22} \end{bmatrix} \right) = \\ &= \frac{1}{2 \det(g_{ij})} \begin{bmatrix} g_{22}l_{11} - g_{21}l_{12} & * \\ * & -g_{12}l_{21} + g_{11}l_{22} \end{bmatrix} \end{aligned}$$

□

Podsumowanie

Podsumowanie

Aby obliczyć krzywizny (średnią i Gaussa) powierzchni potrzebujemy następujące wielkości:

$$g_{11} = \langle x_1, x_1 \rangle, \quad g_{12} = g_{21} = \langle x_1, x_2 \rangle, \quad g_{22} = \langle x_2, x_2 \rangle,$$

$$n = \frac{x_1 \times x_2}{\|x_1 \times x_2\|} = \frac{x_1 \times x_2}{\sqrt{\det(g_{ij})}},$$

$$l_{11} = \langle n_1, x_1 \rangle, \quad l_{12} = \langle n_2, x_1 \rangle, \quad l_{22} = \langle n_2, x_2 \rangle,$$

$$K(p) = \frac{\det(l_{ij})}{\det(g_{ij})}, \quad H(p) = \frac{g_{11}l_{22} - 2g_{12}l_{12} + g_{22}l_{11}}{2 \det(g_{ij})}.$$

9.4 Agitacja na rzecz zgodności definicji

Agitacja na rzecz zgodności definicji

Nie podaliśmy precyzyjnej definicji oryginalnej krzywizny Gaussa, więc trudno mówić o dowodzie równoważności naszej (precyzyjnej) definicji. Niemniej jednak postaramy się zmotywować tę równoważność. Jak zwykle niech $M \subset \mathbb{R}^3$ będzie gładką powierzchnią i niech $x: U \rightarrow M$ będzie lokalnym układem współrzędnych wokół $p \in M$. Oznaczmy przez $\bar{p} = x^{-1}(p)$.

Przypomnijmy oryginalną definicję Gaussa krzywizny i zastąpmy pola przez odpowiednie całki:

$$\begin{aligned} K_g(p) &= \lim_{T \rightarrow \{p\}} \frac{A(\hat{n}(V))}{A(V)} = \frac{\iint_{x^{-1}(V)} |\langle n_1 \times n_2, n \rangle| ds dt}{\iint_{x^{-1}(V)} |\langle x_1 \times x_2, n \rangle| ds dt} = \\ &= \frac{\iint_{x^{-1}(V)} |\langle n_1 \times n_2, n \rangle| ds dt}{\iint_{x^{-1}(V)} \sqrt{|\det(g_{ij})|} ds dt}. \end{aligned}$$

Teraz użyjemy twierdzenia o wartości średniej które mówi, że dla każdego takiego zbioru V muszą istnieć takie punkty $a_V, b_V \in x^{-1}(V)$, że cała całka wyraża się jako wartość funkcji podcałkowej w tych punktach:

$$\begin{aligned} \iint_{x^{-1}(V)} |\langle n_1 \times n_2, n \rangle| ds dt &= |\langle n_1(a_V) \times n_2(a_V), n(a_V) \rangle| A(x^{-1}(V)), \\ \iint_{x^{-1}(V)} \sqrt{|\det(g_{ij})|} ds dt &= \sqrt{|\det(g_{ij}(b_V))|} A(x^{-1}(V)). \end{aligned}$$

Zauważmy, że skoro $V \rightarrow \{p\}$, więc $a_V \rightarrow \bar{p}$ oraz $b_V \rightarrow \bar{p}$. Mamy więc

$$\begin{aligned} \lim_{V \rightarrow \{p\}} \frac{A(\hat{n}(V))}{A(V)} &= \lim_{V \rightarrow \{p\}} \frac{|\langle n_1(a_V) \times n_2(a_V), n(a_V) \rangle| A(x^{-1}(V))}{\sqrt{|\det(g_{ij}(b_V))|} A(x^{-1}(V))} = \\ &= \frac{|\langle n_1(\bar{p}) \times n_2(\bar{p}), n(\bar{p}) \rangle|}{\sqrt{|\det(g_{ij}(\bar{p}))|}}. \end{aligned}$$

Z równań Weingartena na pochodne wektora normalnego ($n_i = -L_{1i}x_1 - L_{2i}x_2$) otrzymujemy

$$\begin{aligned} n_1 \times n_2 &= (-L_{11}x_1 + L_{21}x_2) \times (-L_{21}x_1 + L_{22}x_2) = \\ &= (x_1 \times x_2)(L_{11}L_{22} - L_{21}L_{12}) = K(p)(x_1 \times x_2) \end{aligned}$$

(jest to krzywizna $K(p)$ zdefiniowana jako $\det(L_{ij})$).

Podstawiając wyliczony iloczyn wektorowy oraz korzystając z definicji wektora normalnego mamy

$$\begin{aligned} \langle n_1(\bar{p}) \times n_2(\bar{p}), n(\bar{p}) \rangle &= \pm K(p) \left\langle x_1(\bar{p}) \times x_2(\bar{p}), \frac{x_1(\bar{p}) \times x_2(\bar{p})}{\sqrt{\det(g_{ij}(\bar{p}))}} \right\rangle = \\ &= \frac{\pm K(p)}{\sqrt{\det(g_{ij}(\bar{p}))}} \|x_1 \times x_2\|^2 = \pm K(p) \sqrt{\det(g_{ij}(\bar{p}))}, \end{aligned}$$

zatem ostatecznie

$$K_{\mathcal{G}}(p) = \lim_{V \rightarrow \{p\}} \frac{A(\hat{n}(V))}{A(V)} = \frac{\pm K(p) \sqrt{\det(g_{ij}(\overline{p}))}}{\sqrt{\det(g_{ij}(\overline{p}))}} = \pm K(p).$$

Theorema Egregium i Twierdzenie klasyfikacyjne

10.1 Symbole Christoffela

Symbole Christoffela

Przypomnijmy, że wzory Frené dla krzywych wyrażały pochodne wektorów T , N i B w bazie $\{T, N, B\}$ (a więc pochodne wektorów z bazy wyrażamy w tej samej bazie). Udowodnimy teraz analogiczne twierdzenia dla powierzchni. Szukamy więc formuł, które wyraziłyby pochodne cząstkowe wektorów x_1 , x_2 i n w bazie $\{x_1, x_2, n\}$. Znamy już dwa takie wzory, są nimi równania Weingartena wyrażające $n_i(u_1, u_2) = \frac{\partial n}{\partial u_i}$ jako kombinacje wektorów x_1 i x_2 . Dla przypomnienia:

$$n_i = -L_{1i}x_1 - L_{2i}x_2.$$

Poniżej używamy naszej konwencji na oznaczanie drugich pochodnych cząstkowych x jako x_{ij} ,

$$x_{ij}(u_1, u_2) \stackrel{\text{def.}}{=} \frac{\partial x_i(u_1, u_2)}{\partial u_j} = \frac{\partial^2 x(u_1, u_2)}{\partial u_j \partial u_i}.$$

Oczywiście jak niemal wszystko co do tej pory dowodziliśmy o powierzchniach, ostateczna forma tych formuł będzie zależeć od wyboru lokalnego układu współrzędnych.

Twierdzenie 10.1 (Formuła Gaussa). *Niech $M \subset \mathbb{R}^3$ będzie powierzchnią gładką oraz niech $x: U \rightarrow M$ będzie lokalnym układem współrzędnych. Wtedy*

$$x_{ij} = \Gamma_{ij}^1 x_1 + \Gamma_{ij}^2 x_2 + l_{ij} n. \quad (10.1)$$

Uwaga. Ponieważ funkcje Γ_{ij}^k zwane **symbolami Christoffela** nie pojawiły się jeszcze na tym wykładzie, możemy to sformułowanie przyjąć jako ich **definicję** (z resztą tak samo zdefiniowaliśmy torsję krzywej).

Ponieważ $x_{ij} = x_{ji}$, więc natychmiast otrzymujemy pierwszą własność tych symboli:

$$\Gamma_{ij}^k = \Gamma_{ji}^k, \quad \text{dla } k = 1, 2.$$

Dowód Formuły Gaussa: Ponieważ układ $\{x_1, x_2, n\}$ tworzy bazę przestrzeni \mathbb{R}^3 , więc muszą istnieć współczynniki Γ_{ij}^k oraz Q_{ij} takie, że

$$x_{ij} = \Gamma_{ij}^1 x_1 + \Gamma_{ij}^2 x_2 + Q_{ij} n.$$

Zrzutujemy ortogonalnie obie strony tego równania na wektory x_1, x_2 i n :

$$\langle x_{ij}, x_1 \rangle = \Gamma_{ij}^1 g_{11} + \Gamma_{ij}^2 g_{12}$$

$$\langle x_{ij}, x_2 \rangle = \Gamma_{ij}^1 g_{21} + \Gamma_{ij}^2 g_{22}$$

$$\langle x_{ij}, n \rangle = Q_{ij}$$

Natychmiast z tego wynika, że $Q_{ij} = \langle x_{ij}, n \rangle = \langle x_i, n_j \rangle = l_{ij}$. Pozostałe dwa równania potraktujemy jako własności symboli Christoffela. \square

Lemat 10.2. Niech $M \rightarrow \mathbb{R}^3$ będzie powierzchnią gładką i niech $x: U \rightarrow M$ będzie lokalnym układem współrzędnych. Dla wszystkich $i, j = 1, 2$ zachodzi

$$\begin{pmatrix} \Gamma_{ij}^1 \\ \Gamma_{ij}^2 \end{pmatrix} = \frac{1}{2} \begin{pmatrix} g_{11} & g_{12} \\ g_{21} & g_{22} \end{pmatrix}^{-1} \begin{pmatrix} \frac{\partial g_{j1}}{\partial u_i} + \frac{\partial g_{i1}}{\partial u_j} - \frac{\partial g_{ij}}{\partial u_1} \\ \frac{\partial g_{j2}}{\partial u_i} + \frac{\partial g_{i2}}{\partial u_j} - \frac{\partial g_{ij}}{\partial u_2} \end{pmatrix}$$

Dowód: Obliczmy pochodną cząstkową z g_{ij} :

$$\frac{\partial g_{ij}}{\partial u_k} = \frac{\partial \langle x_i, x_j \rangle}{\partial u_k} = \left\langle \frac{\partial x_i}{\partial u_k}, x_j \right\rangle + \left\langle x_i, \frac{\partial x_j}{\partial u_k} \right\rangle = \langle x_{ik}, x_j \rangle + \langle x_i, x_{jk} \rangle.$$

Podobnie, permutując indeksy i, j, k (równocześnie pamiętając, że $g_{ij} = g_{ji}$, oraz $x_{ij} = x_{ji}$) otrzymujemy dwa kolejne równania:

$$\frac{\partial g_{ik}}{\partial u_j} = \langle x_{ij}, x_k \rangle + \langle x_i, x_{jk} \rangle$$

$$\frac{\partial g_{jk}}{\partial u_i} = \langle x_{ik}, x_j \rangle + \langle x_k, x_{ij} \rangle$$

Dodając drugie i trzecie równanie, a następnie odejmując pierwsze otrzymujemy:

$$\frac{1}{2} \left(\frac{\partial g_{ik}}{\partial u_j} + \frac{\partial g_{jk}}{\partial u_i} - \frac{\partial g_{ij}}{\partial u_k} \right) = \langle x_{ij}, x_k \rangle.$$

Z drugiej strony na podstawie formuły Gaussa mamy

$$\langle x_{ij}, x_k \rangle = \Gamma_{ij}^1 \langle x_1, x_k \rangle + \Gamma_{ij}^2 \langle x_2, x_k \rangle = \sum_{r=1}^2 \Gamma_{ij}^r g_{rk},$$

czyli

$$\sum_{r=1}^2 \Gamma_{ij}^r g_{rk} = \frac{1}{2} \left(\frac{\partial g_{ik}}{\partial u_j} + \frac{\partial g_{jk}}{\partial u_i} - \frac{\partial g_{ij}}{\partial u_k} \right).$$

Wystarczy teraz to równanie zapisać w postaci macierzowej:

$$\begin{pmatrix} g_{11} & g_{12} \\ g_{21} & g_{22} \end{pmatrix} \begin{pmatrix} \Gamma_{ij}^1 \\ \Gamma_{ij}^2 \end{pmatrix} = \begin{pmatrix} \frac{\partial g_{i1}}{\partial u_j} + \frac{\partial g_{j1}}{\partial u_i} - \frac{\partial g_{ij}}{\partial u_1} \\ \frac{\partial g_{i2}}{\partial u_j} + \frac{\partial g_{j2}}{\partial u_i} - \frac{\partial g_{ij}}{\partial u_2} \end{pmatrix},$$

i pomnożyć z lewej strony przez $(g_{ij})^{-1}$ aby otrzymać szukane przedstawienie Γ_{ij}^k . \square

Twierdzenie 10.3. *Niech $M \subset \mathbb{R}^3$ będzie powierzchnią gładką, oraz niech $x: U \rightarrow M$ będzie lokalnym układem współrzędnych. Wtedy zachodzą następujące równości.*

- *Równanie Gaussa:*

$$l_{11}l_{22} - l_{12}^2 = \sum_{r=1}^2 g_{1r} \left[\frac{\partial \Gamma_{22}^r}{\partial u_1} - \frac{\partial \Gamma_{21}^r}{\partial u_2} + \sum_{m=1}^2 (\Gamma_{22}^m \Gamma_{m1}^r - \Gamma_{21}^m \Gamma_{m2}^r) \right].$$

- *Równania Codazziego-Mainardiego:*

$$\begin{aligned} \frac{\partial l_{12}}{\partial u_1} - \frac{\partial l_{11}}{\partial u_2} + \sum_{r=1}^2 (\Gamma_{12}^r l_{r1} - \Gamma_{11}^r l_{r2}) &= 0 \\ \frac{\partial l_{22}}{\partial u_1} - \frac{\partial l_{21}}{\partial u_2} + \sum_{r=1}^2 (\Gamma_{22}^r l_{r1} - \Gamma_{21}^r l_{r2}) &= 0 \end{aligned}$$

Chociaż na pierwszy rzut oka te równania są zupełnie nieczytelne, ich pochodzenie sprowadza się do twierdzenia Schwarza: pochodne cząstkowe mieszane muszą być równe niezależnie od kolejności różniczkowania, tj.

$$x_{ijk} = x_{ikj}.$$

Ponadto dowód wykorzystuje jedynie fakt, że równość wektorów w tej samej bazie pociąga równość współczynników, więc nie jest koncepcyjnie trudny. Udowodnimy tylko Równania Codazziego-Mainardiego, równanie Gaussa pozostawiając jako ćwiczenie.

Dowód: Przypomnijmy formułę Gaussa:

$$x_{ij} = \Gamma_{ij}^1 x_1 + \Gamma_{ij}^2 x_2 + l_{ij} n,$$

a następnie zróżniczkujemy ją względem u_k :

$$x_{ijk} = \frac{\partial \Gamma_{ij}^1}{\partial u_k} x_1 + \Gamma_{ij}^1 x_{1k} + \frac{\partial^2 \Gamma_{ij}}{\partial u_k} x_2 + \Gamma_{ij}^2 x_{2k} + \frac{\partial l_{ij}}{\partial u_k} n + l_{ij} n_k.$$

Korzystając teraz z równania Weingartena i formuły Gaussa podstawmy za n_k i x_{ij} ich realizacje w bazie $\{x_1, x_2, n\}$, a następnie uporządkujmy wyrażenie:

$$\begin{aligned} x_{ijk} &= \frac{\partial \Gamma_{ij}^1}{\partial u_k} x_1 + \Gamma_{ij}^1 \underbrace{(\Gamma_{1k}^2 x_1 + \Gamma_{1k}^2 x_2 + l_{1k} n)}_{x_{1k}} + \\ &+ \frac{\partial^2 \Gamma_{ij}}{\partial u_k} x_2 + \Gamma_{ij}^2 \underbrace{(\Gamma_{2k}^1 x_1 + \Gamma_{2k}^2 x_2 + l_{2k} n)}_{x_{2k}} + \\ &+ \frac{\partial l_{ij}}{\partial u_k} n + l_{ij} \underbrace{(-L_{1k} x_1 - L_{2k} x_2)}_{n_k} = \\ &= \left[\frac{\partial \Gamma_{ij}^1}{\partial u_k} + \Gamma_{ij}^1 \Gamma_{1k}^1 + \Gamma_{ij}^2 \Gamma_{2k}^2 - l_{ij} L_{1k} \right] x_1 + \\ &+ \left[\frac{\partial \Gamma_{ij}^2}{\partial u_k} + \Gamma_{ij}^1 \Gamma_{1k}^2 + \Gamma_{ij}^2 \Gamma_{2k}^2 - l_{ij} L_{2k} \right] x_2 + \\ &+ \left[\Gamma_{ij}^1 l_{1k} + \Gamma_{ij}^2 l_{2k} + \frac{\partial l_{ij}}{\partial u_k} \right] n = Ax_1 + Bx_2 + Cn. \end{aligned}$$

Zamieniając miejscami j i k otrzymujemy

$$\begin{aligned} x_{ikj} &= \left[\frac{\partial \Gamma_{ik}^1}{\partial u_j} + \Gamma_{ik}^1 \Gamma_{1j}^1 + \Gamma_{ik}^2 \Gamma_{2j}^2 - l_{ik} L_{1j} \right] x_1 + \\ &+ \left[\frac{\partial \Gamma_{ik}^2}{\partial u_j} + \Gamma_{ik}^1 \Gamma_{1j}^2 + \Gamma_{ik}^2 \Gamma_{2j}^2 - l_{ik} L_{2j} \right] x_2 + \\ &+ \left[\Gamma_{ik}^1 l_{1j} + \Gamma_{ik}^2 l_{2j} + \frac{\partial l_{ik}}{\partial u_j} \right] n = \\ &= A'x_1 + B'x_2 + C'n. \end{aligned}$$

Ponieważ wynik różniczkowania nie zależy od kolejności wyboru zmiennych, więc współczynniki tych przedstawień muszą być sobie równe:

$$\Gamma_{ij}^1 l_{1k} + \Gamma_{ij}^2 l_{2k} + \frac{\partial l_{ij}}{\partial u_k} = \Gamma_{ik}^1 l_{1j} + \Gamma_{ik}^2 l_{2j} + \frac{\partial l_{ik}}{\partial u_j}, \quad (C = C').$$

Odpowiednio grupując otrzymujemy

$$\begin{aligned} \frac{\partial l_{ij}}{\partial u_k} - \frac{\partial l_{ik}}{\partial u_j} + (\Gamma_{ij}^1 l_{1k} - \Gamma_{ik}^1 l_{1j}) + \Gamma_{ij}^2 l_{2k} - \Gamma_{ik}^2 l_{2j} = \\ = \frac{\partial l_{12}}{\partial u_1} - \frac{\partial l_{11}}{\partial u_2} + \sum_{r=1}^2 (\Gamma_{12}^r l_{r1} - \Gamma_{11}^r l_{r2}) = 0. \end{aligned}$$

Ostatecznie podstawiając ($i = 1, j = 2, k = 1$) [odpowiednio: ($i = 2, j = 2, k = 1$)] otrzymujemy pierwsze [drugie] równanie Codazziego-Mainardiego. \square

Zadanie. Udowodnić Równanie Gaussa. Podpowiedź: należy porównać współczynniki A, A' , oraz B, B' . Następnie podstawić ($i = 2, j = 1, k = 2$).

10.2 Theorema Egregium

Twierdzenie 10.4 (Theorema Egregium Gaussa). *Niech $M \subset \mathbb{R}^3$ oraz $N \subset \mathbb{R}^3$ będą powierzchniami gładkimi o krzywiznach odpowiednio K_M i K_N . Niech $f: M \rightarrow N$ będzie lokalną izometrią. Wtedy*

$$K_M(p) = K_N(f(p))$$

dla wszystkich $p \in M$.

Ponieważ pierwsza forma podstawowa powierzchni jest niezmiennicza ze względu na lokalne izometrie (lemat 7.7, własność 3) wystarczy więc pokazać, że krzywizna Gaussa może być wyrażona w terminach współczynników metrycznych (funkcji g_{11}, g_{12}, g_{22}), oraz ich pochodnych.

Dowód:

Niech $x: U \rightarrow M$ będzie lokalnym układem współrzędnych wokół $p \in M$. Wiemy, że krzywizna wyraża się wzorem

$$K(p) = \frac{\det(l_{ij})}{\det(g_{ij})}.$$

Wystarczy więc przedstawić wyrażenie $\det(l_{ij}) = l_{11}l_{22} - l_{12}^2$ przy pomocy funkcji g_{11} , g_{12} , g_{22} i ich pochodnych. (**Uwaga:** jest to możliwe, mimo, że żadnej pojedynczej funkcji l_{ij} w taki sposób przedstawić się nie da!).

Przypomnijmy równanie Gaussa (z twierdzenia 10.3):

$$l_{11}l_{22} - l_{12}^2 = \sum_{r=1}^2 g_{1r} \left[\frac{\partial \Gamma_{22}^r}{\partial u_1} - \frac{\partial \Gamma_{21}^r}{\partial u_2} + \sum_{m=1}^2 (\Gamma_{22}^m \Gamma_{m1}^r - \Gamma_{21}^m \Gamma_{m2}^r) \right].$$

Wyraża ono $l_{11}l_{22} - l_{12}^2$ przy pomocy g_{ij} oraz symboli Christoffela (i ich pochodnych).

Z drugiej strony dzięki wcześniejszemu lematowi charakteryzującego symbole Christoffela (lemat 10.2):

$$\begin{pmatrix} \Gamma_{ij}^1 \\ \Gamma_{ij}^2 \end{pmatrix} = \frac{1}{2} \begin{pmatrix} g_{11} & g_{12} \\ g_{21} & g_{22} \end{pmatrix}^{-1} \begin{pmatrix} \frac{\partial g_{j1}}{\partial u_i} + \frac{\partial g_{i1}}{\partial u_j} - \frac{\partial g_{ij}}{\partial u_1} \\ \frac{\partial g_{j2}}{\partial u_i} + \frac{\partial g_{i2}}{\partial u_j} - \frac{\partial g_{ij}}{\partial u_2} \end{pmatrix}$$

wiemy, że i je da się wyrazić przy pomocy współczynników metrycznych (i ich pochodnych). Zatem wstawiając równania z tego lematu do równania Gaussa otrzymujemy szukane wyrażenie $l_{11}l_{22} - l_{12}^2$ w tylko terminach funkcji g_{ij} (oraz ich pochodnych). \square

Zadanie. Prześledzić dowód Theorema Egregium i wyprowadzić bezpośredni wzór na krzywiznę Gaussa zawierający tylko współczynniki metryczne i ich pochodne.

Uwaga. Twierdzenie odwrotne do Theorema Egregium nie zachodzi. Mianowicie istnieją powierzchnie M i N oraz odwzorowania $f: M \rightarrow N$ dla których $K(f(p)) = K(p)$, lecz mimo wszystko f nie jest lokalną izometrią.

Przykład. Niech

$$M = \{y(u, v) = (u \sin v, u \cos v, \ln u) : u \in \mathbb{R}_+, v \in (-\pi, \pi)\},$$

$$N = \{x(u, v) = (v \sin u, v \cos u, u) : u \in \mathbb{R}_+, v \in (-\pi, \pi)\},$$

oraz zdefiniujmy funkcję $f: M \rightarrow N$ jako

$$f(y(u, v)) \stackrel{\text{def.}}{=} x(v, u).$$

Wtedy (sprawdzić!)

$$K(f(y(u, v))) = K(x(v, u)) = \frac{-1}{(1 + u^2)^2} = K(y(u, v)).$$

Gdyby jednak f była lokalną izometrią, wówczas lokalne układy współrzędnych x i y musiałyby mieć te same współczynniki metryczne (z zamienionymi zmiennymi). Jednak $g_{11}^M(u, v) = 1 + \frac{1}{u^2}$ podczas gdy $g_{11}^N(u, v) = 1$.

10.3 Twierdzenie klasyfikujące

Twierdzenie 10.5 (Twierdzenie klasyfikacyjne). *Niech $U \subset \mathbb{R}^2$ będzie spójnym zbiorem otwartym. Załóżmy, że*

- *istnieją cztery funkcje $g_{ij}: U \rightarrow \mathbb{R}$ spełniające*

$$g_{ij} = g_{ji}, \quad g_{11} > 0, \quad \text{oraz} \quad g_{11}g_{22} - g_{12}^2 > 0,$$

dla wszystkich $i, j = 1, 2$;

- *istnieją cztery funkcje $l_{ij}: U \rightarrow \mathbb{R}$ spełniające*

$$l_{ij} = l_{ji};$$

- *osiem funkcji $\Gamma_{ij}^k: U \rightarrow \mathbb{R}$ zdefiniowanych przez*

$$\begin{pmatrix} \Gamma_{ij}^1 \\ \Gamma_{ij}^2 \end{pmatrix} = \frac{1}{2} \begin{pmatrix} g_{11} & g_{12} \\ g_{21} & g_{22} \end{pmatrix}^{-1} \begin{pmatrix} \frac{\partial g_{j1}}{\partial u_i} + \frac{\partial g_{i1}}{\partial u_j} - \frac{\partial g_{ij}}{\partial u_1} \\ \frac{\partial g_{j2}}{\partial u_i} + \frac{\partial g_{i2}}{\partial u_j} - \frac{\partial g_{ij}}{\partial u_2} \end{pmatrix}$$

dla wszystkich $i, j, k = 1, 2$, spełnia następujące trzy równania:

$$\begin{aligned} l_{11}l_{22} - l_{12}^2 &= \sum_{r=1}^2 g_{1r} \left[\frac{\partial \Gamma_{22}^r}{\partial u_1} - \frac{\partial \Gamma_{21}^r}{\partial u_2} + \sum_{m=1}^2 (\Gamma_{22}^m \Gamma_{m1}^r - \Gamma_{21}^m \Gamma_{m2}^r) \right] \\ \frac{\partial l_{12}}{\partial u_1} - \frac{\partial l_{11}}{\partial u_2} + \sum_{r=1}^2 (\Gamma_{12}^r l_{r1} - \Gamma_{11}^r l_{r2}) &= 0 \\ \frac{\partial l_{22}}{\partial u_1} - \frac{\partial l_{21}}{\partial u_2} + \sum_{r=1}^2 (\Gamma_{22}^r l_{r1} - \Gamma_{21}^r l_{r2}) &= 0 \end{aligned}$$

wtedy:

Dla każdego punktu $p \in U$ istnieje jego otwarte otoczenie $V \subset U$ oraz lokalny układ współrzędnych $x: V \rightarrow \mathbb{R}^2$ dla którego funkcje g_{ij} i l_{ij} tworzą odpowiednio pierwszą i drugą formę podstawową. Każde takie dwa lokalne układy współrzędnych różnią się od siebie o translację i obrót przestrzeni \mathbb{R}^2 .